

Koronární vítr

Jiří Krtička

Ústav teoretické fyziky a astrofyziky
Masarykova univerzita, Brno



Má Slunce sluneční vítr?

- dva druhy ohonů komet (Biermann 1951)



Má Slunce sluneční vítr?

- polární záře



Má Slunce sluneční vítr?

- družicová pozorování
 - proud částic od Slunce (protony, elektrony, jádra He, ...)

Má Slunce sluneční vítr?

- družicová pozorování
 - proud částic od Slunce (protony, elektrony, jádra He, ...)
 - rychlost $\sim 500 \text{ km s}^{-1}$
 - koncentrace ($r = 1 \text{ AU}$) $\sim 10^7 \text{ částic m}^{-3}$

Má Slunce sluneční vítr?

- družicová pozorování
 - proud částic od Slunce (protony, elektrony, jádra He, ...)
 - rychlost $\sim 500 \text{ km s}^{-1}$
 - koncentrace ($r = 1 \text{ AU}$) $\sim 10^7 \text{ částic m}^{-3}$
 - rychlost ztráty hmoty

$$\dot{M} = 4\pi r^2 \rho v \approx 2 \times 10^{-14} M_{\odot} \text{ rok}^{-1}$$

Co urychluje sluneční vítr?

- střední kvadratická rychlost částic ideálního plynu

$$v_{\text{sk}} = \sqrt{\frac{3kT}{m_{\text{H}}}}$$

- T je teplota
- m_{H} je hmotnost částic (vodíku)

Co urychluje sluneční vítr?

- střední kvadratická rychlost částic ideálního plynu

$$v_{\text{sk}} = \sqrt{\frac{3kT}{m_{\text{H}}}}$$

- pro $v_{\text{sk}} \approx v_{\text{únik}}$ by částice mohly unikat z povrchu Slunce pouze v důsledku svého tepelného pohybu

Co urychluje sluneční vítr?

- střední kvadratická rychlost částic ideálního plynu

$$v_{\text{sk}} = \sqrt{\frac{3kT}{m_{\text{H}}}}$$

- typická teplota povrchových vrstev Slunce je 6000 K

Co urychluje sluneční vítr?

- střední kvadratická rychlost částic ideálního plynu

$$v_{\text{sk}} = \sqrt{\frac{3kT}{m_{\text{H}}}}$$

- typická teplota povrchových vrstev Slunce je 6000 K
- tomu odpovídá $v_{\text{sk}} = 12 \text{ km s}^{-1} \ll v_{\text{únik}}$

Úplné zatmění Slunce



Úplné zatmění Slunce

- Slunce má rozsáhlou a řídkou obálku: *koróna*
- koróna je v optickém oboru pozorovatelná pouze při úplném zatmění nebo pomocí sond

Úplné zatmění Slunce

- Slunce má rozsáhlou a řídkou obálku: *koróna*
- koróna je v optickém oboru pozorovatelná pouze při úplném zatmění nebo pomocí sond
- identifikace emisních čar vysoce ionizovaných prvků (Ca XII, Fe XIII, Ni XVI, ..., "korónium") pozorovaných při zatmění (Grotrian 1939, Edlén 1942) \Rightarrow teplota koróny je řádově $10^5 - 10^6$ K

Úplné zatmění Slunce

- Slunce má rozsáhlou a řídkou obálku: *koróna*
 - koróna je v optickém oboru pozorovatelná pouze při úplném zatmění nebo pomocí sond
 - identifikace emisních čar vysoce ionizovaných prvků (Ca XII, Fe XIII, Ni XVI, ..., "korónium") pozorovaných při zatmění (Grotrian 1939, Edlén 1942) \Rightarrow teplota koróny je řádově $10^5 - 10^6$ K
- \Rightarrow odpovídající střední kvadratická rychlost je řádově 100 km s^{-1}

Úplné zatmění Slunce

- Slunce má rozsáhlou a řídkou obálku: *koróna*
 - koróna je v optickém oboru pozorovatelná pouze při úplném zatmění nebo pomocí sond
 - identifikace emisních čar vysoce ionizovaných prvků (Ca XII, Fe XIII, Ni XVI, ..., "korónium") pozorovaných při zatmění (Grotrian 1939, Edlén 1942) \Rightarrow teplota koróny je řádově $10^5 - 10^6$ K
- \Rightarrow odpovídající střední kvadratická rychlost je řádově 100 km s^{-1}
- \Rightarrow rozpínání koróny je příčinou slunečního větru (Parker 1958)
- \Rightarrow *koronální hvězdný vítr*

Hydrostatická rovnováha?

- sféricky symetrická atmosféra v hydrostatické rovnováze?

Hydrostatická rovnováha?

- sféricky symetrická atmosféra v hydrostatické rovnováze?
- pohybová rovnice

$$\rho \frac{\partial v}{\partial t} + \rho v \frac{\partial v}{\partial r} = -\frac{\partial p}{\partial r} - \frac{\rho G M}{r^2}$$

Hydrostatická rovnováha?

- sféricky symetrická atmosféra v hydrostatické rovnováze?
- pohybová rovnice

$$\frac{dp}{dr} = -\frac{\rho G M}{r^2}$$

- statická atmosféra: $v = 0$
- rovnice hydrostatické rovnováhy

Hydrostatická rovnováha?

- sféricky symetrická atmosféra v hydrostatické rovnováze?
- pohybová rovnice

$$a^2 \frac{d\rho}{dr} = -\frac{\rho G M}{r^2}$$

- stavová rovnice ideálního plynu: $p = \rho a^2$
- izotermická atmosféra: $a = \text{konst.}$

Hydrostatická rovnováha?

- sféricky symetrická atmosféra v hydrostatické rovnováze?
- pohybová rovnice
- řešení

$$\rho = \rho_0 \exp \left[\frac{GM}{ra^2} \right]$$

Hydrostatická rovnováha?

- sféricky symetrická atmosféra v hydrostatické rovnováze?
- pohybová rovnice
- řešení

$$\rho = \rho_0 \exp \left[\frac{GM}{ra^2} \right]$$

- nenulová hustota v nekonečnu

$$\lim_{r \rightarrow \infty} \rho = \rho_0$$

Hydrostatická rovnováha?

- sféricky symetrická atmosféra v hydrostatické rovnováze?
- pohybová rovnice
- řešení

$$\rho = \rho_0 \exp \left[\frac{GM}{ra^2} \right]$$

- nenulová hustota v nekonečnu

$$\lim_{r \rightarrow \infty} \rho = \rho_0$$

- v určitém bodě je úniková rychlost menší než rychlost odpovídající tepelnému pohybu částic
- ⇒ únik látky, vítr

Parkerův model koronálního větru

- rovnice kontinuity a pohybová rovnice izotermického sféricky symetrického větru

$$\frac{\partial \rho}{\partial t} + \frac{1}{r^2} \frac{\partial}{\partial r} (r^2 \rho v) = 0$$

$$\rho \frac{\partial v}{\partial t} + \rho v \frac{\partial v}{\partial r} = -a^2 \frac{\partial \rho}{\partial r} - \frac{\rho G M}{r^2}$$

- ρ , v hustota a radiální rychlost větru
- a izotermická rychlost zvuku

Parkerův model koronálního větru

- rovnice kontinuity a pohybová rovnice izotermického sféricky symetrického větru

$$\frac{1}{r^2} \frac{d}{dr} (r^2 \rho v) = 0$$

$$\rho v \frac{dv}{dr} = -a^2 \frac{d\rho}{dr} - \frac{\rho GM}{r^2}$$

- předpoklad: stacionární hvězdný vítr

Parkerův model koronálního větru

- rovnice kontinuity

$$\frac{1}{r^2} \frac{d}{dr} (r^2 \rho v) = 0 \Rightarrow \dot{M} \equiv 4\pi r^2 \rho v = \text{const.}$$

- \dot{M} je rychlost ztráty hmoty

Parkerův model koronálního větru

- pohybová rovnice

$$v \frac{dv}{dr} = - \frac{a^2}{\rho} \frac{d\rho}{dr} - \frac{GM}{r^2}$$

Parkerův model koronálního větru

- pohybová rovnice

$$v \frac{dv}{dr} = -\frac{a^2}{\rho} \frac{d\rho}{dr} - \frac{GM}{r^2}$$

rovnice kontinuity: $\frac{2}{r} + \frac{1}{v} \frac{dv}{dr} + \frac{1}{\rho} \frac{d\rho}{dr} = 0$

Parkerův model koronálního větru

- pohybová rovnice

$$\frac{1}{v} (v^2 - a^2) \frac{dv}{dr} = \frac{2a^2}{r} - \frac{GM}{r^2}$$

Parkerův model koronálního větru

- pohybová rovnice

$$\frac{1}{v} (v^2 - a^2) \frac{dv}{dr} = \frac{2a^2}{r} - \frac{GM}{r^2}$$

- zajímavý bod:

$$r_c = \frac{GM}{2a^2} \Rightarrow v = a \quad \text{nebo} \quad \frac{dv}{dr} = 0$$

Parkerův model koronálního větru

- pohybová rovnice

$$\frac{1}{v} (v^2 - a^2) \frac{dv}{dr} = \frac{2a^2}{r} - \frac{GM}{r^2}$$

- zajímavý bod:

$$r_c = \frac{GM}{2a^2} \Rightarrow v = a \quad \text{nebo} \quad \frac{dv}{dr} = 0$$

- zvukový bod

$$v = a \Rightarrow \frac{dv}{dr} \rightarrow \infty \quad \text{nebo} \quad r = r_c$$

Parkerův model koronálního větru

- pohybová rovnice

$$\frac{1}{v} (v^2 - a^2) \frac{dv}{dr} = \frac{2a^2}{r} - \frac{GM}{r^2}$$

- zajímavý bod:

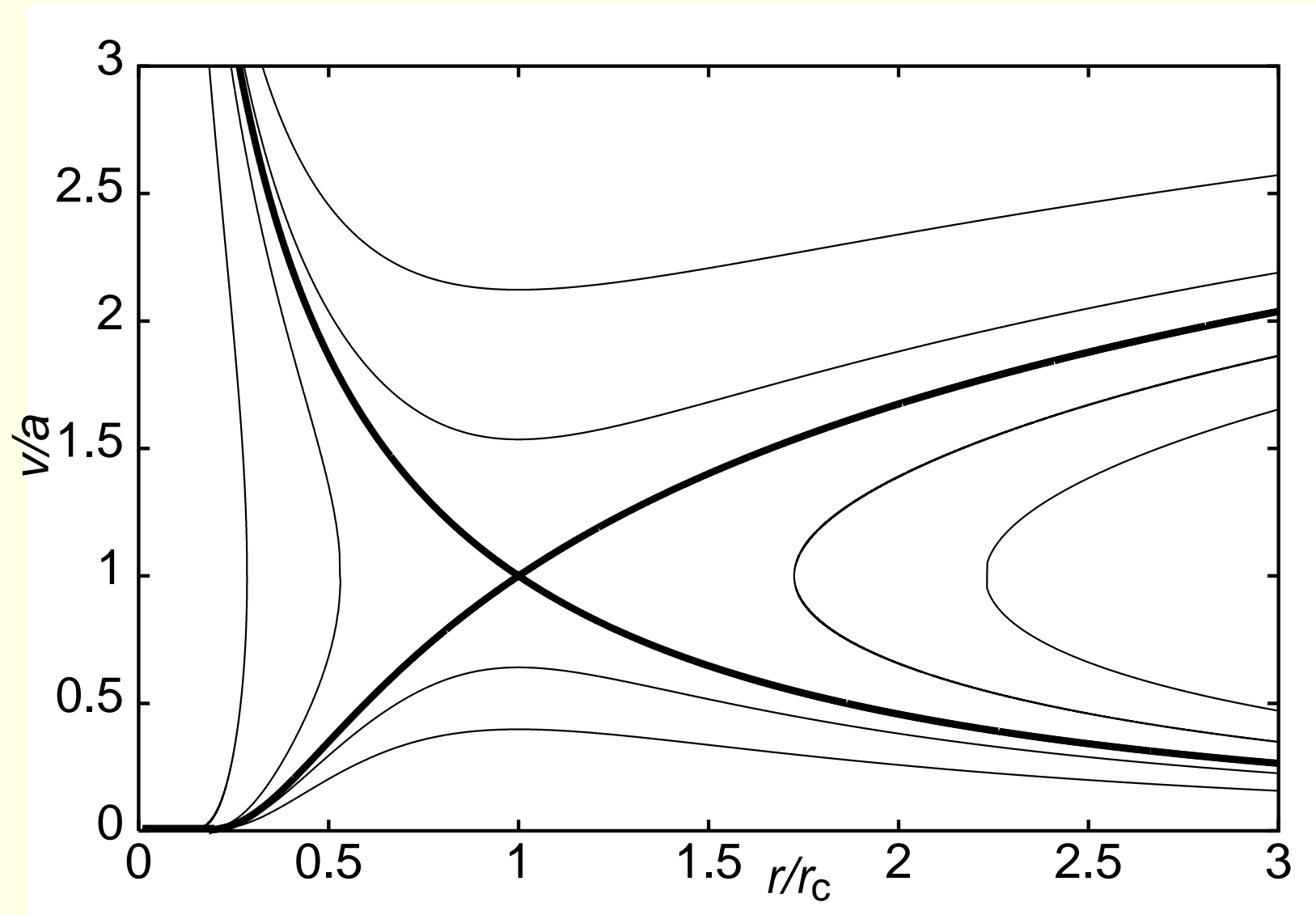
$$r_c = \frac{GM}{2a^2} \Rightarrow v = a \quad \text{nebo} \quad \frac{dv}{dr} = 0$$

- zvukový bod

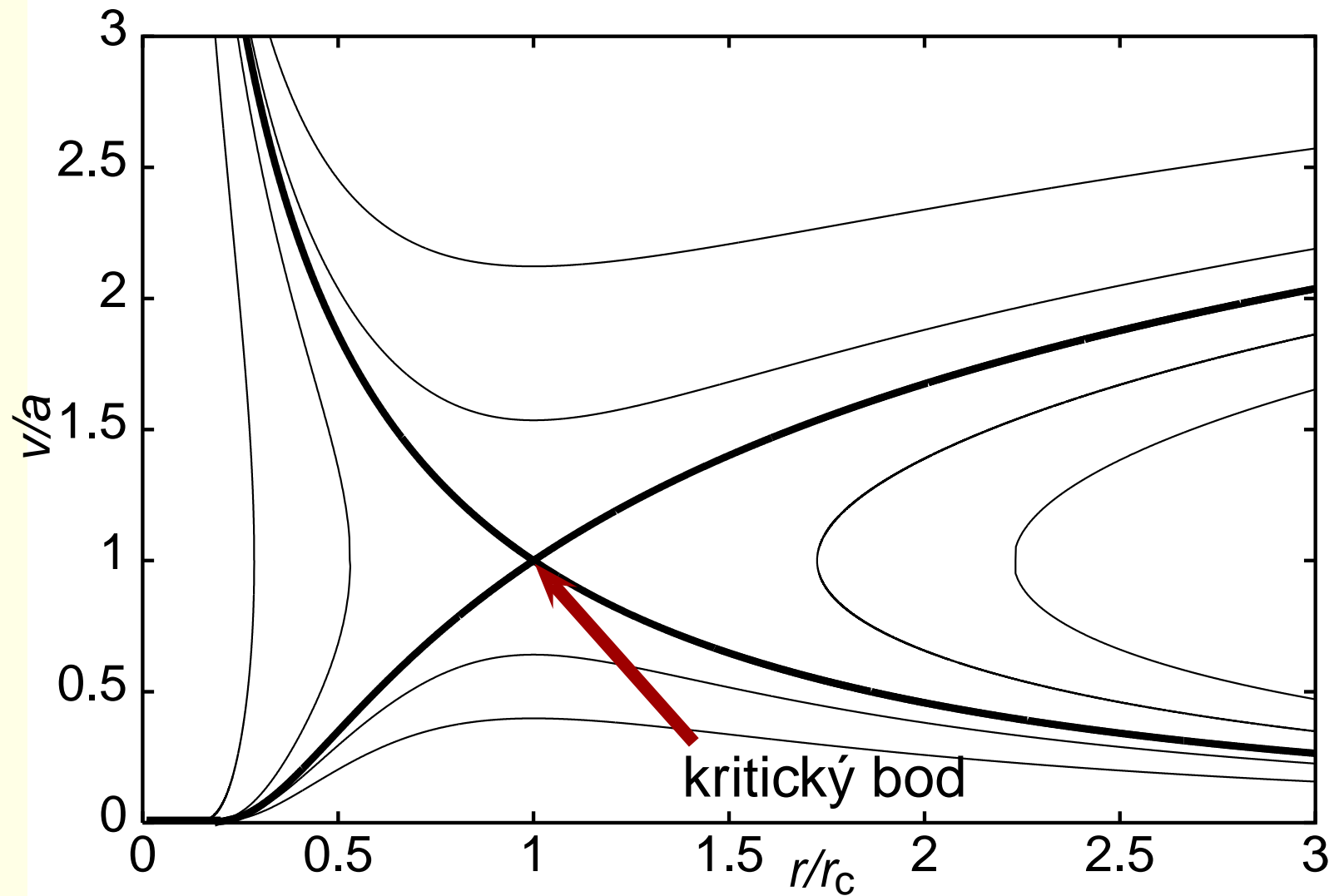
$$v = a \Rightarrow \frac{dv}{dr} \rightarrow \infty \quad \text{nebo} \quad r = r_c$$

- zvukový bod připomíná hrdlo trysky

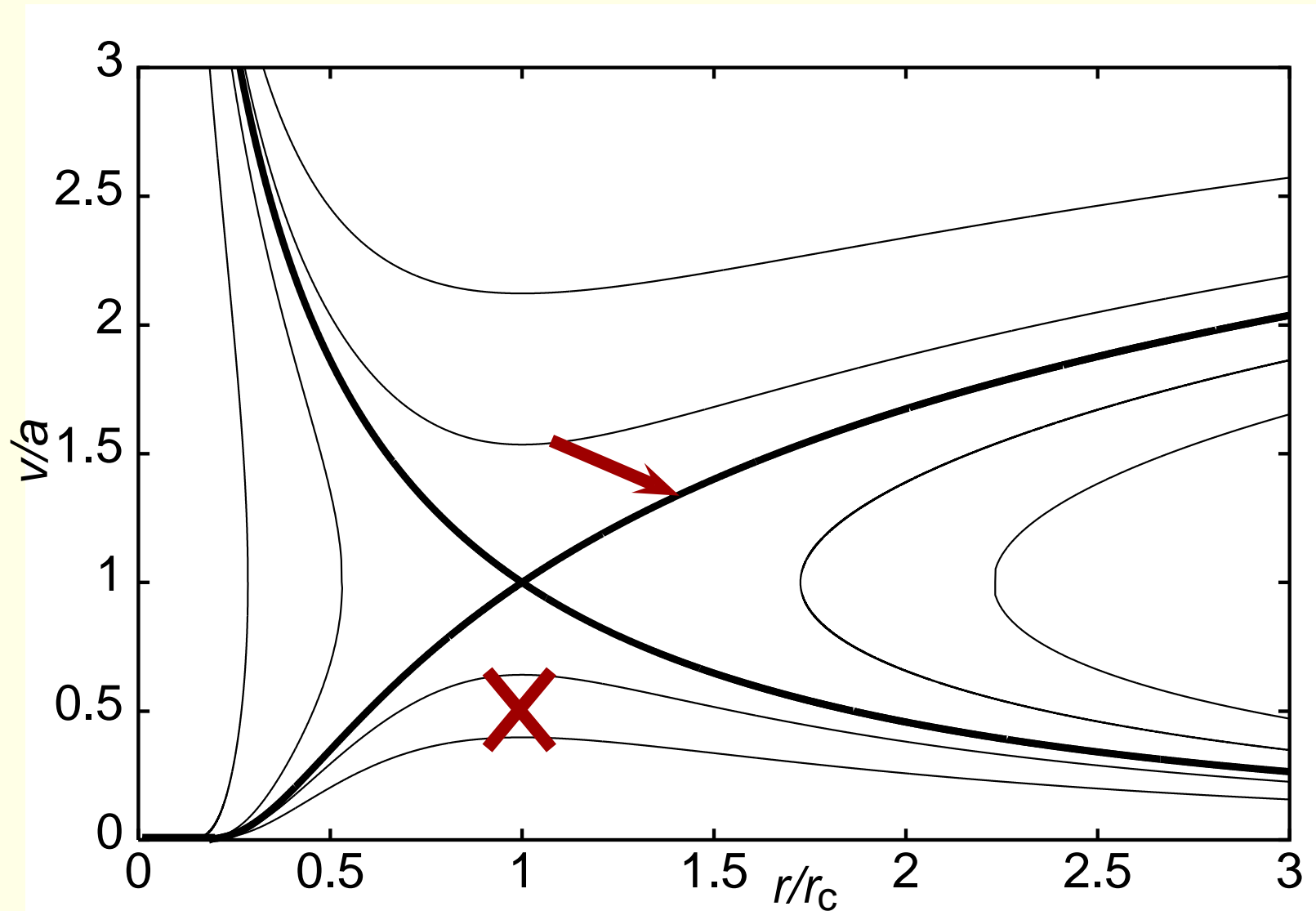
Řešení pohybové rovnice



Řešení pohybové rovnice

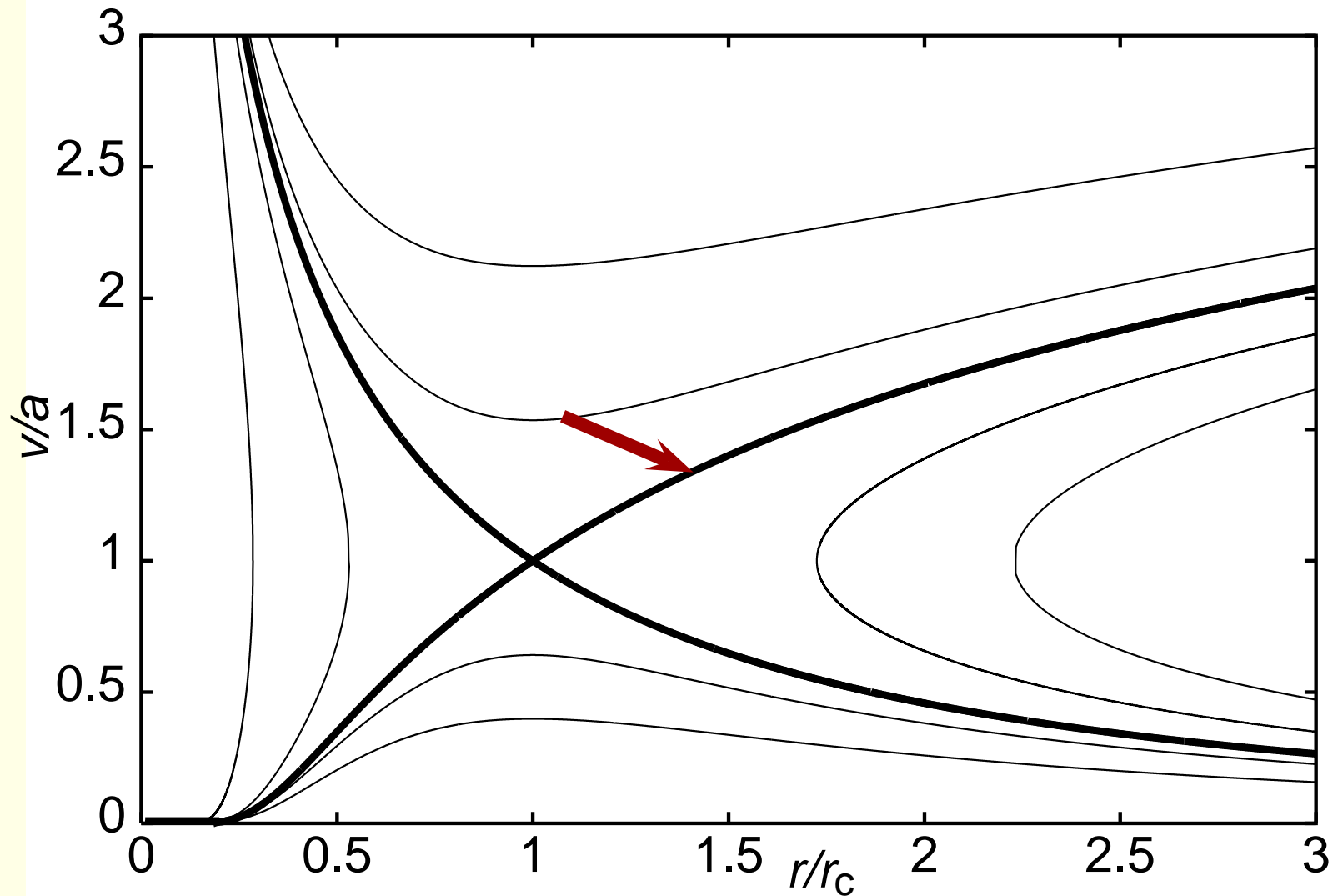


Řešení pohybové rovnice



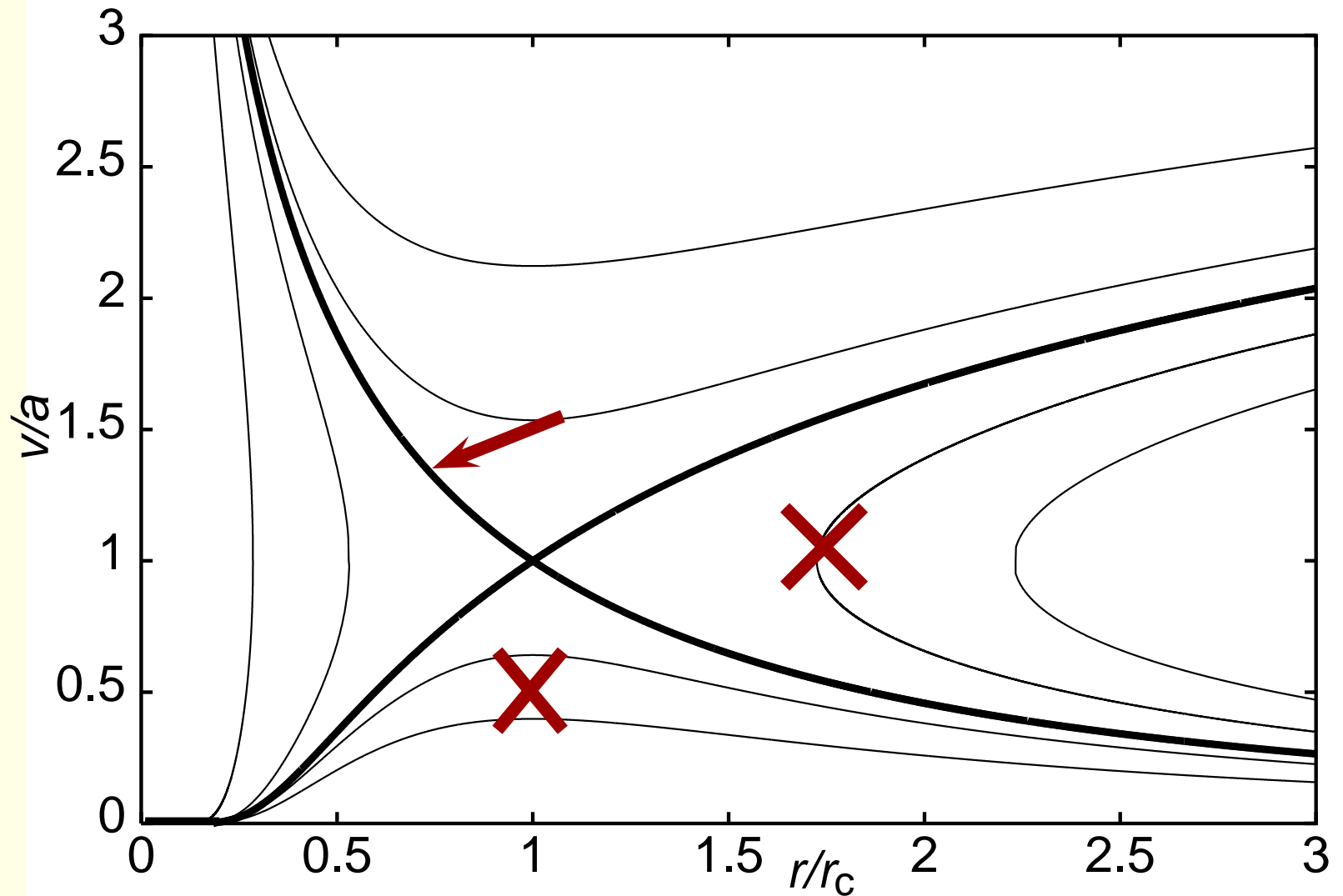
vítr: dva typy řešení (nadzvukové a "vánek" – breeze)

Řešení pohybové rovnice



pozorování: vítr je nadzvukový

Řešení pohybové rovnice



vítr: dva typy řešení (nadzvukové a "vánek" – breeze)

Kde je zakopán pes?

- co urychluje sluneční vítr?

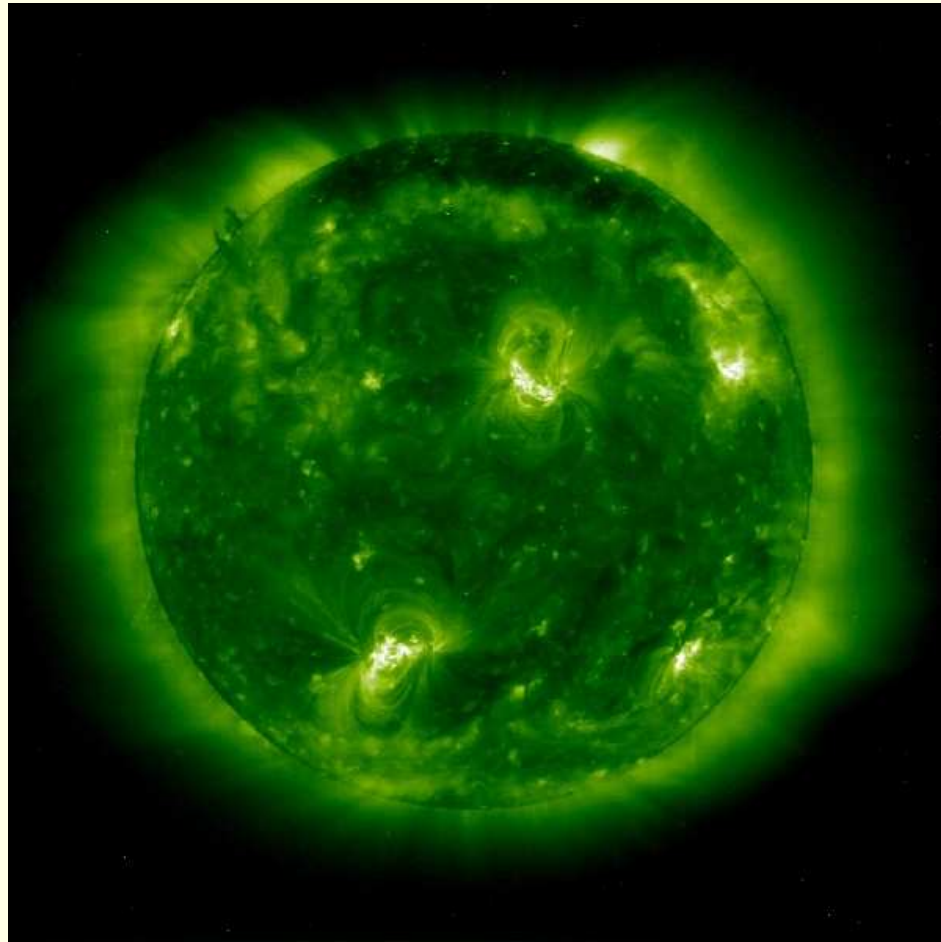
Kde je zakopán pes?

- co urychluje sluneční vítr?
- ⇒ sluneční vítr je důsledkem tepelného rozpínání sluneční koróny

Kde je zakopán pes?

- co urychluje sluneční vítr?
- ⇒ sluneční vítr je důsledkem tepelného rozpínání sluneční koróny
- ⇒ co ohřívá sluneční korónu? (energiová rovnice!)

Pozorování sluneční koróny



SOHO, čáry Fe XII, 195 Å

Pozorování sluneční koróny

tři typy oblastí:

- *oblast uzavřených magnetických smyček*: horká látka je udržována magnetickým polem, často v blízkosti aktivních oblastí, zdroj sluneční aktivity (erupce, výtrysky sluneční látky), typická teplota $2 \cdot 10^6$ K

Pozorování sluneční koróny

tři typy oblastí:

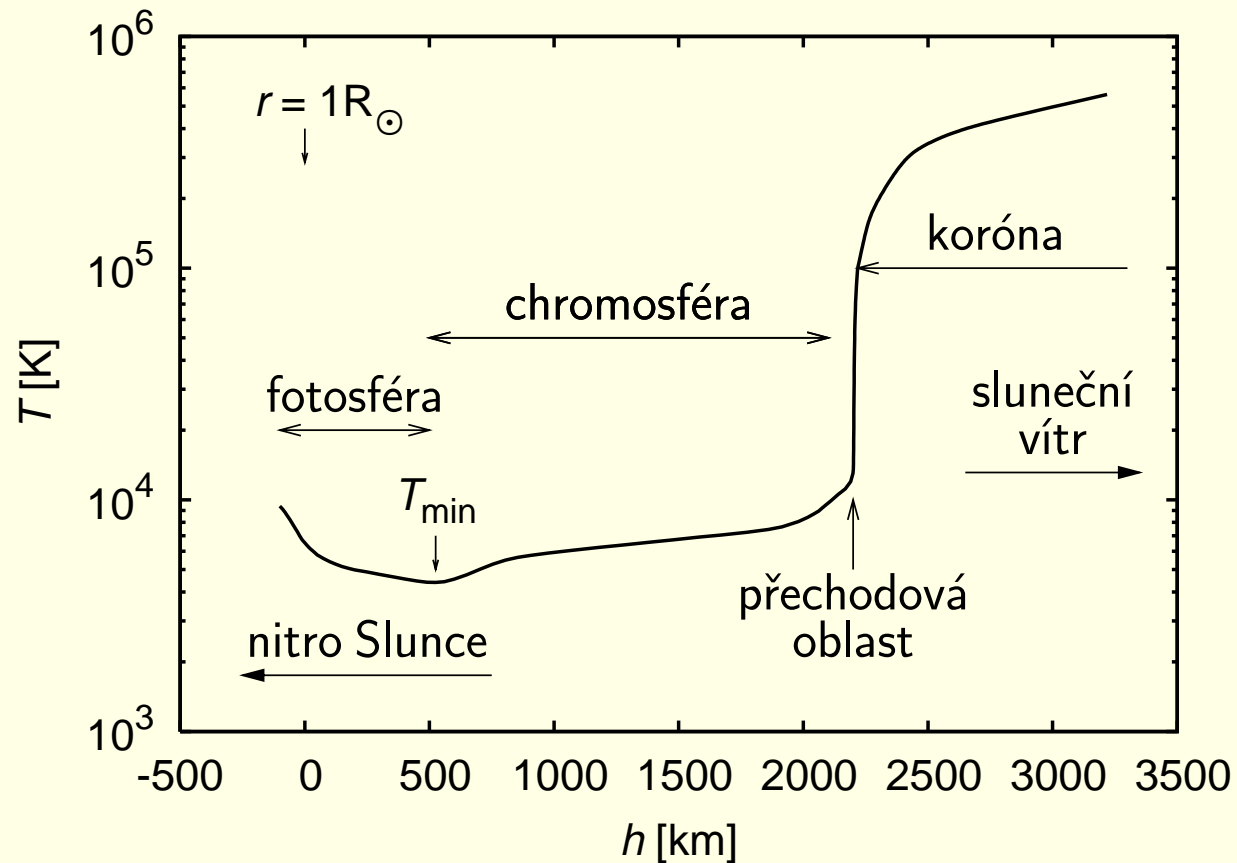
- *oblast uzavřených magnetických smyček*
- *klidné oblasti*: středně jasné na rentgenovém snímku, zdroj *pomalého* ($\sim 300 \text{ km s}^{-1}$) slunečního větru, typická teplota $1 \cdot 10^6 \text{ K}$

Pozorování sluneční koróny

tři typy oblastí:

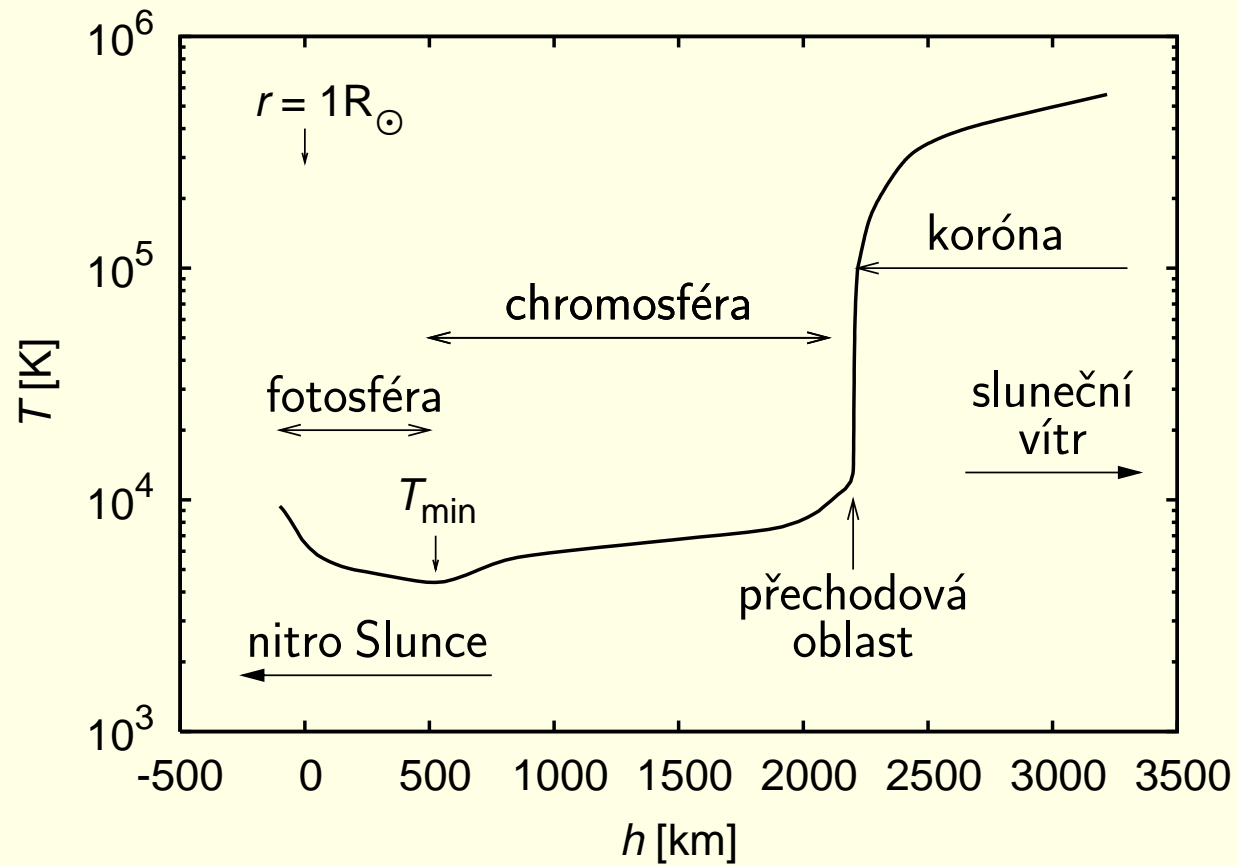
- *oblast uzavřených magnetických smyček*
- *klidné oblasti*
- *koronální díry*: tmavé oblasti na rentgenovém snímku, zdroj *rychlého* ($\sim 700 \text{ km s}^{-1}$) slunečního větru

Průběh teploty v atmosféře



semiempirické modely sluneční chromosféry a přechodové vrstvy (klidná oblast, Fontenla, Avrett a Loeser 1993)

Průběh teploty v atmosféře



- přechodová oblast velice tenká: proč?

Průběh teploty v atmosféře

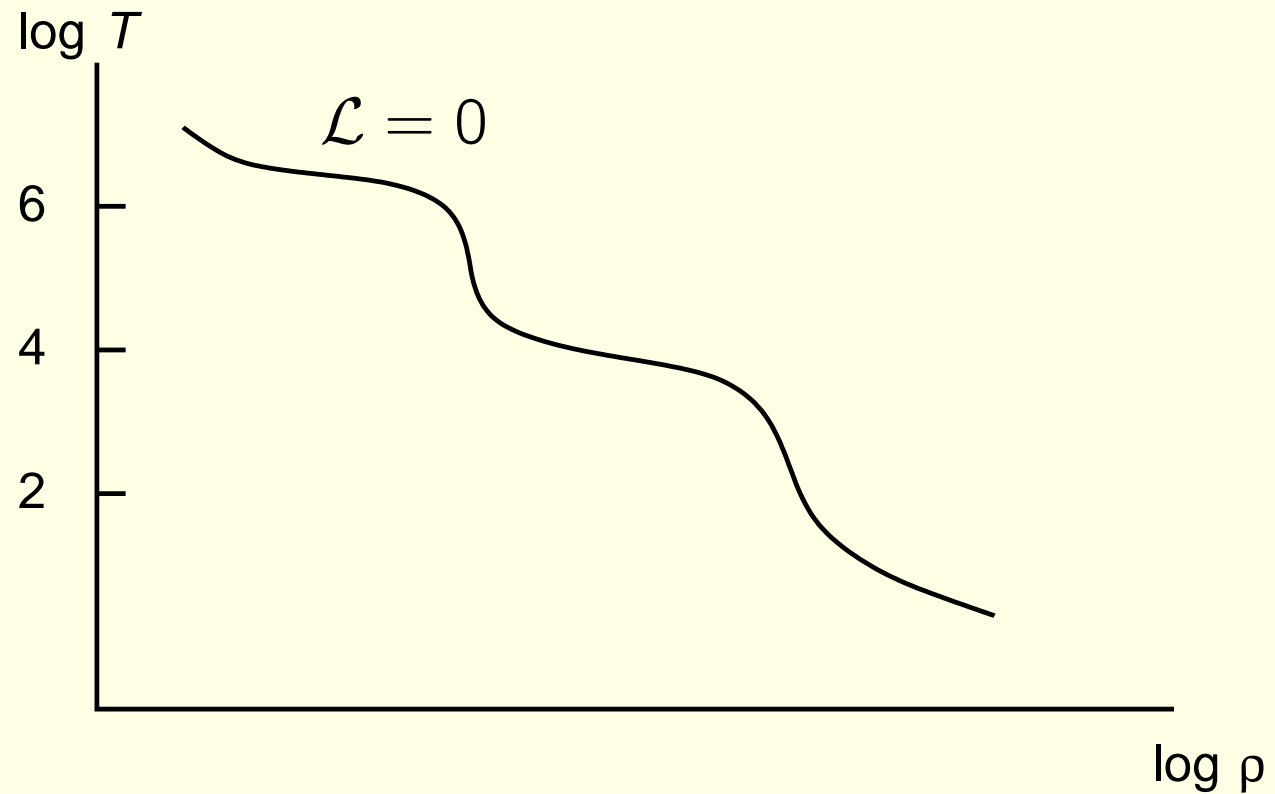
- Fieldovo kritérium *tepelné nestability*
- rovnováha mezi ochlazováním a ohřevem v opticky tenkém plynu (LTE)

$$\mathcal{L}(\rho, T) = 0$$

- ρ je hustota
- T je teplota
- \mathcal{L} zářivý výkon na jednotku hmotnosti

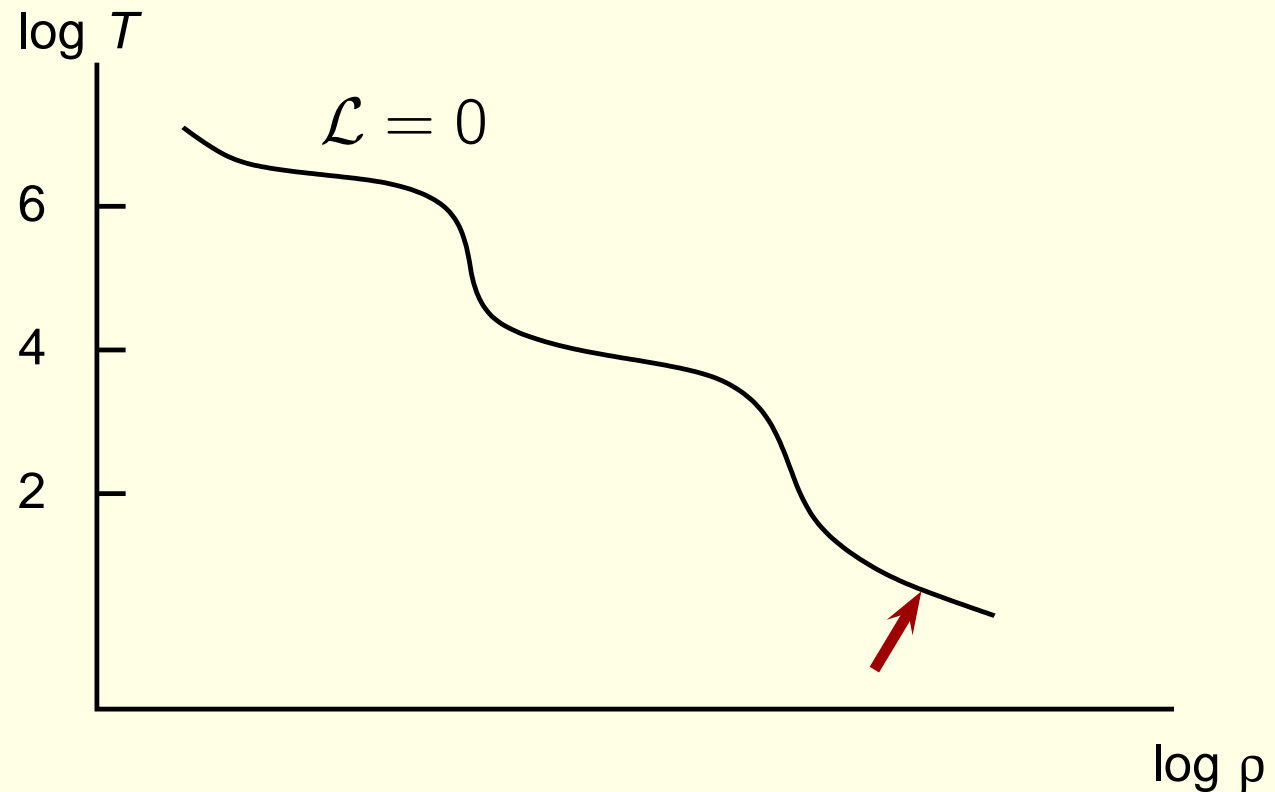
Průběh teploty v atmosféře

- Fieldovo kritérium *tepelné nestability*



Průběh teploty v atmosféře

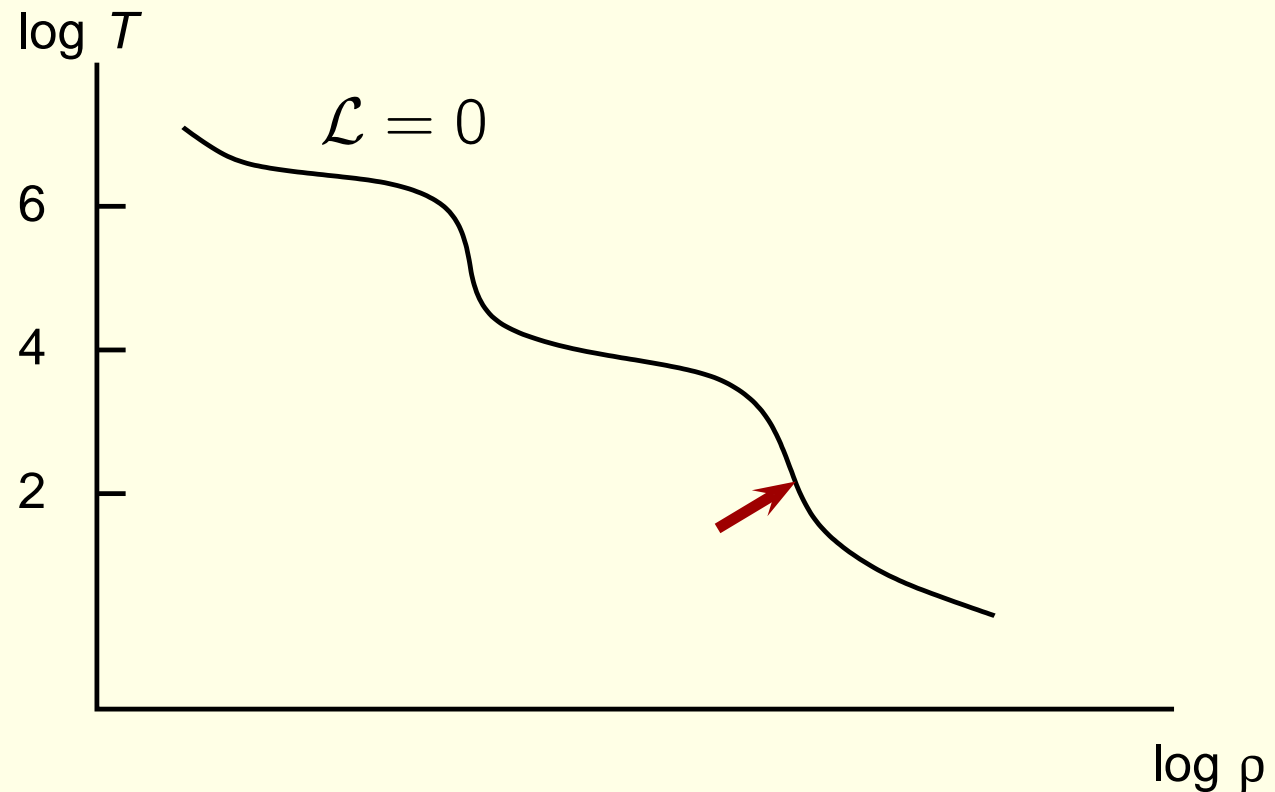
- Fieldovo kritérium *tepelné nestability*



- excitace rotačních hladin molekul a hladin jemné struktury atomů, silná závislost \mathcal{L} na teplotě

Průběh teploty v atmosféře

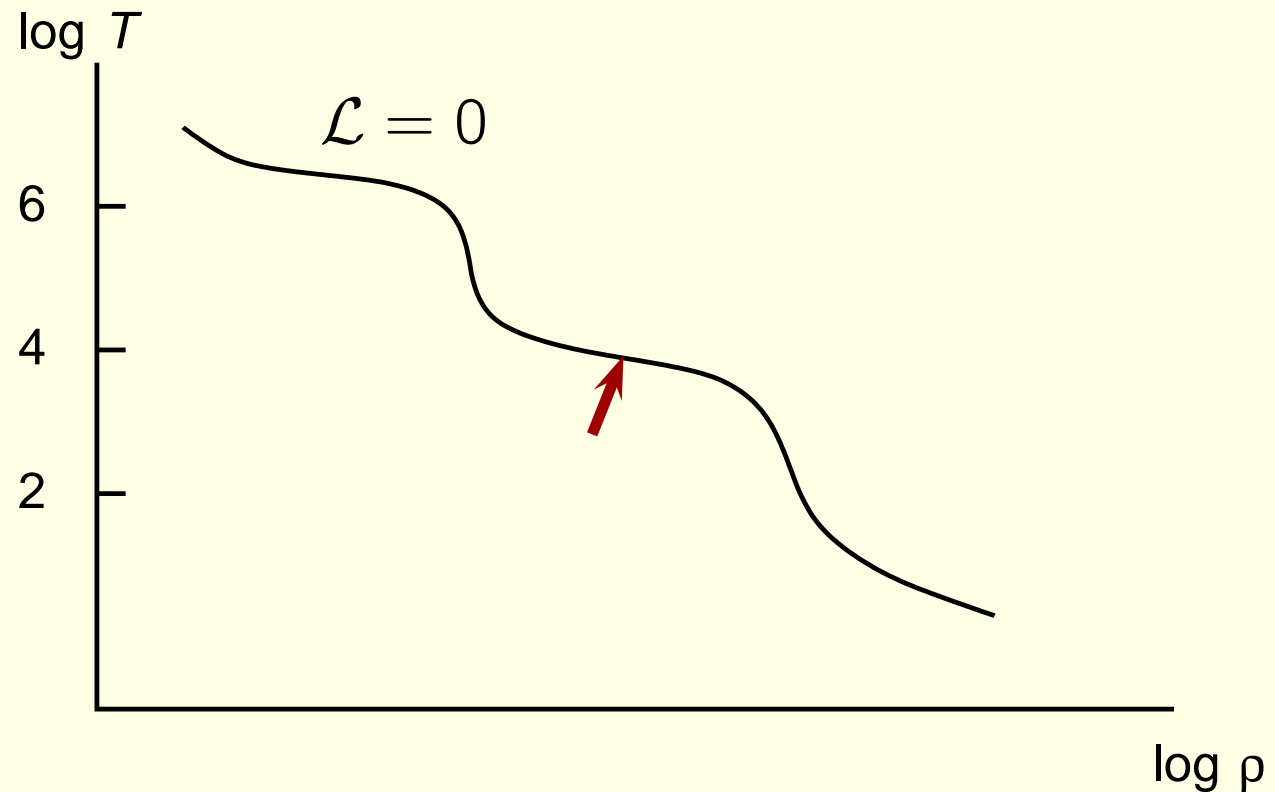
- Fieldovo kritérium *tepelné nestability*



- rotační hladiny molekul a hladiny jemné struktury atomů excitovány, příslušné $e^{-\epsilon/kT} \sim 1$, malá závislost \mathcal{L} na teplotě

Průběh teploty v atmosféře

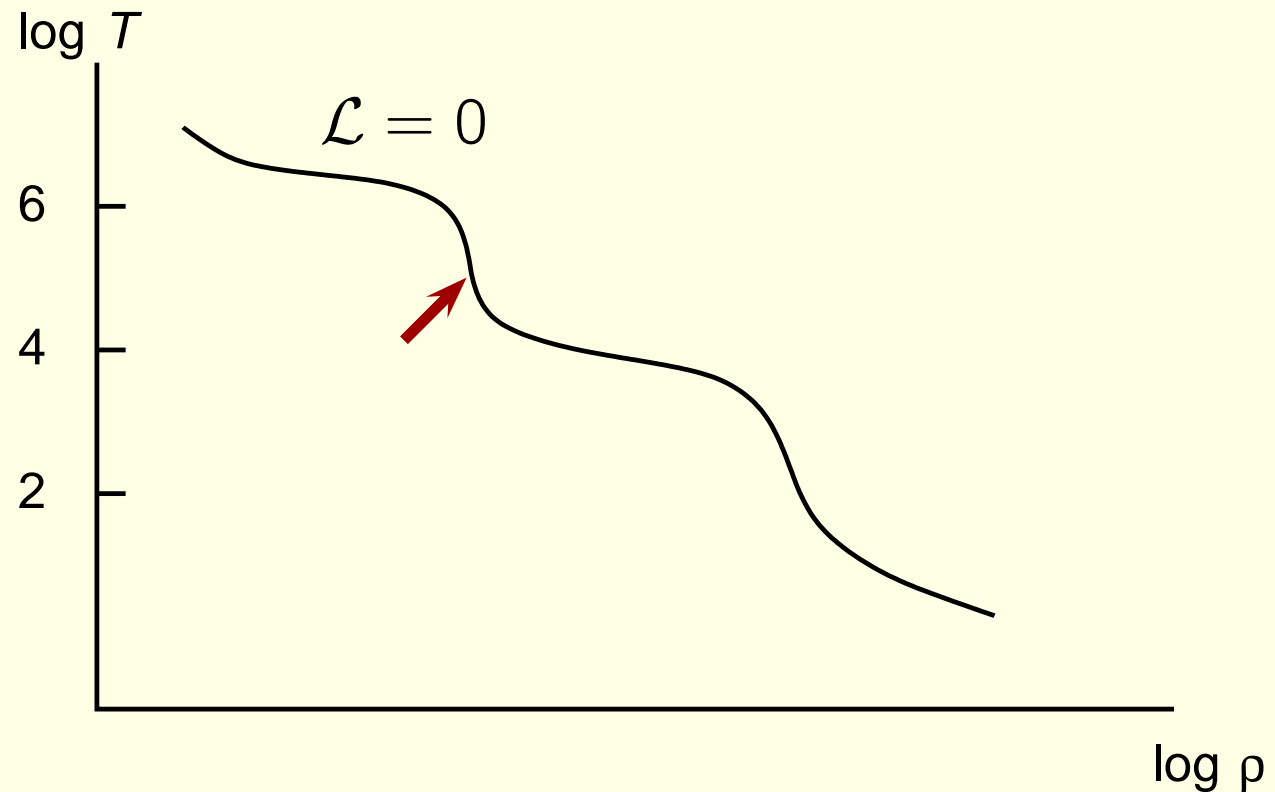
- Fieldovo kritérium *tepelné nestability*



- excitace hladin atomů a iontů, silná závislost \mathcal{L} na teplotě

Průběh teploty v atmosféře

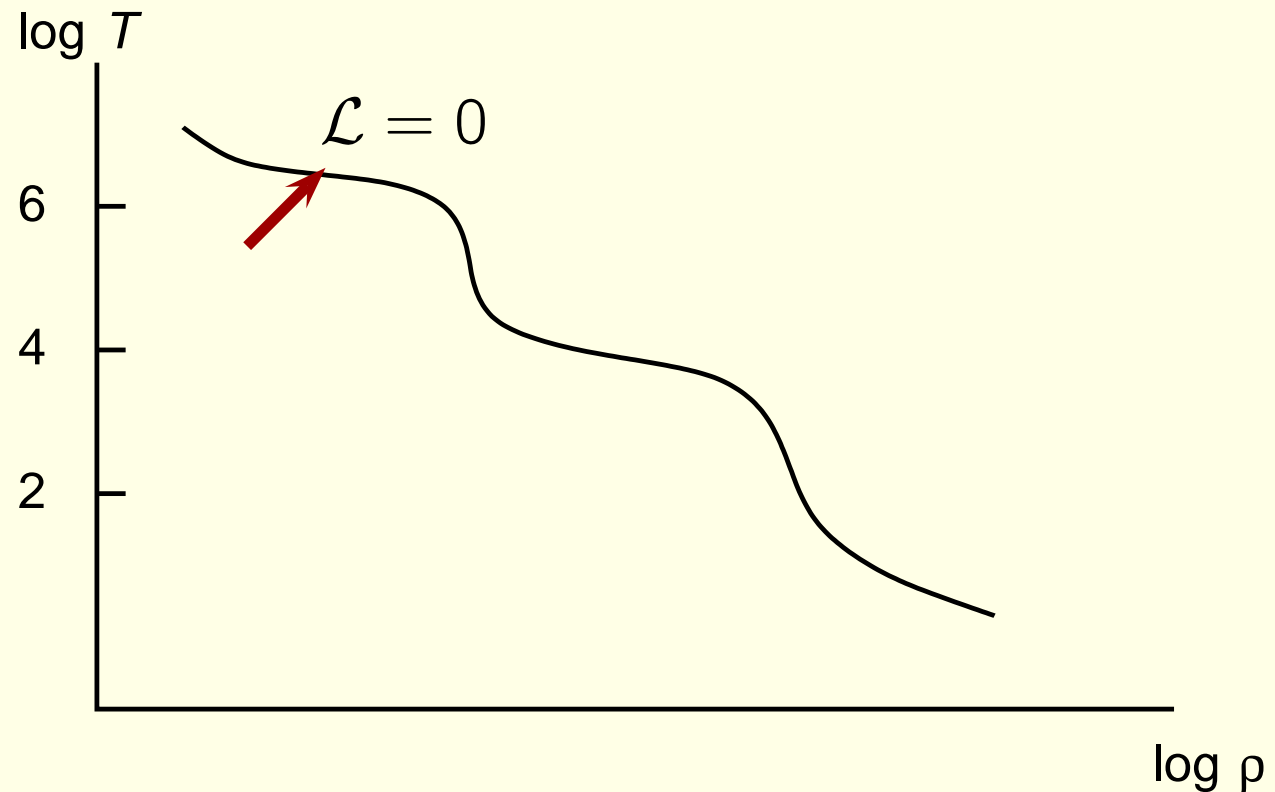
- Fieldovo kritérium *tepelné nestability*



- hladiny atomů a iontů excitovány, příslušné Boltzmannovy faktory $e^{-\epsilon/kT} \sim 1$ malá závislost \mathcal{L} na teplotě

Průběh teploty v atmosféře

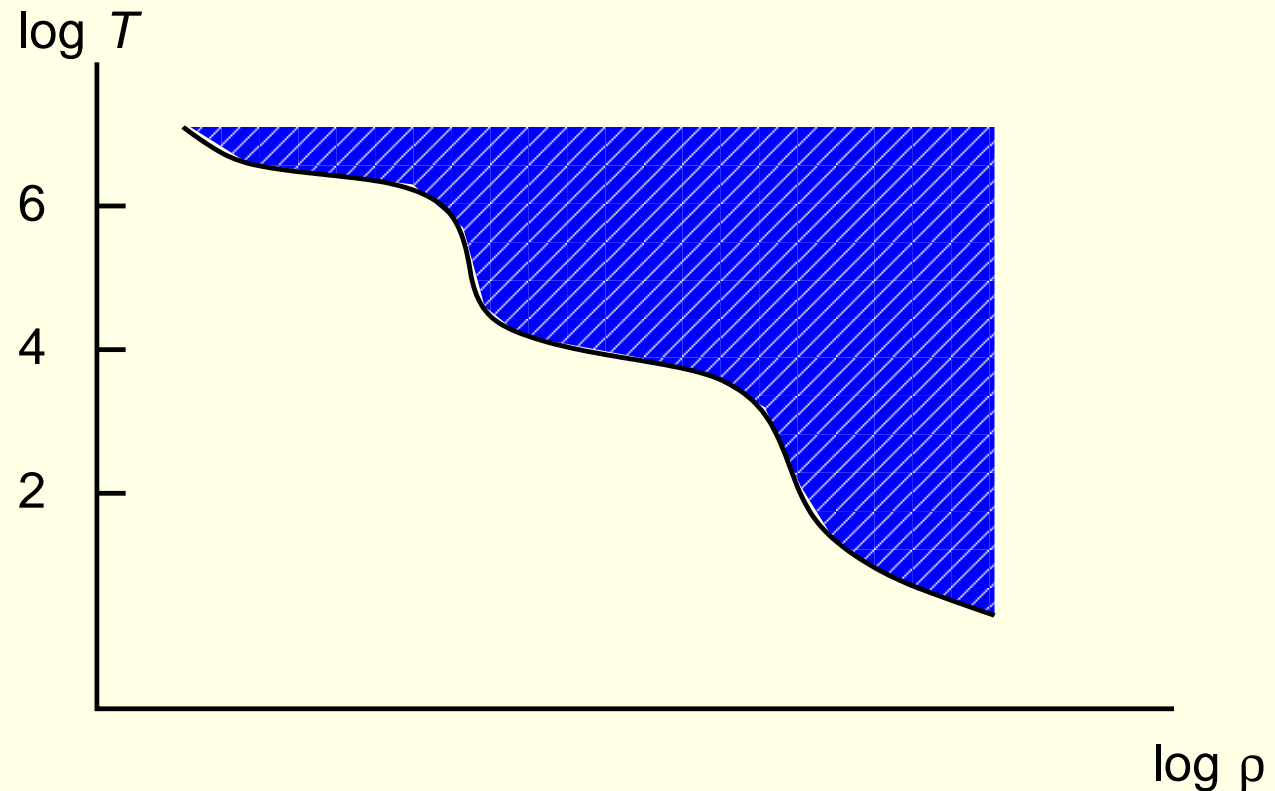
- Fieldovo kritérium *tepelné nestability*



- látka silně ionizována, excitace vnitřních slupek atomů (např. O, Fe), silná závislost \mathcal{L} na teplotě

Průběh teploty v atmosféře

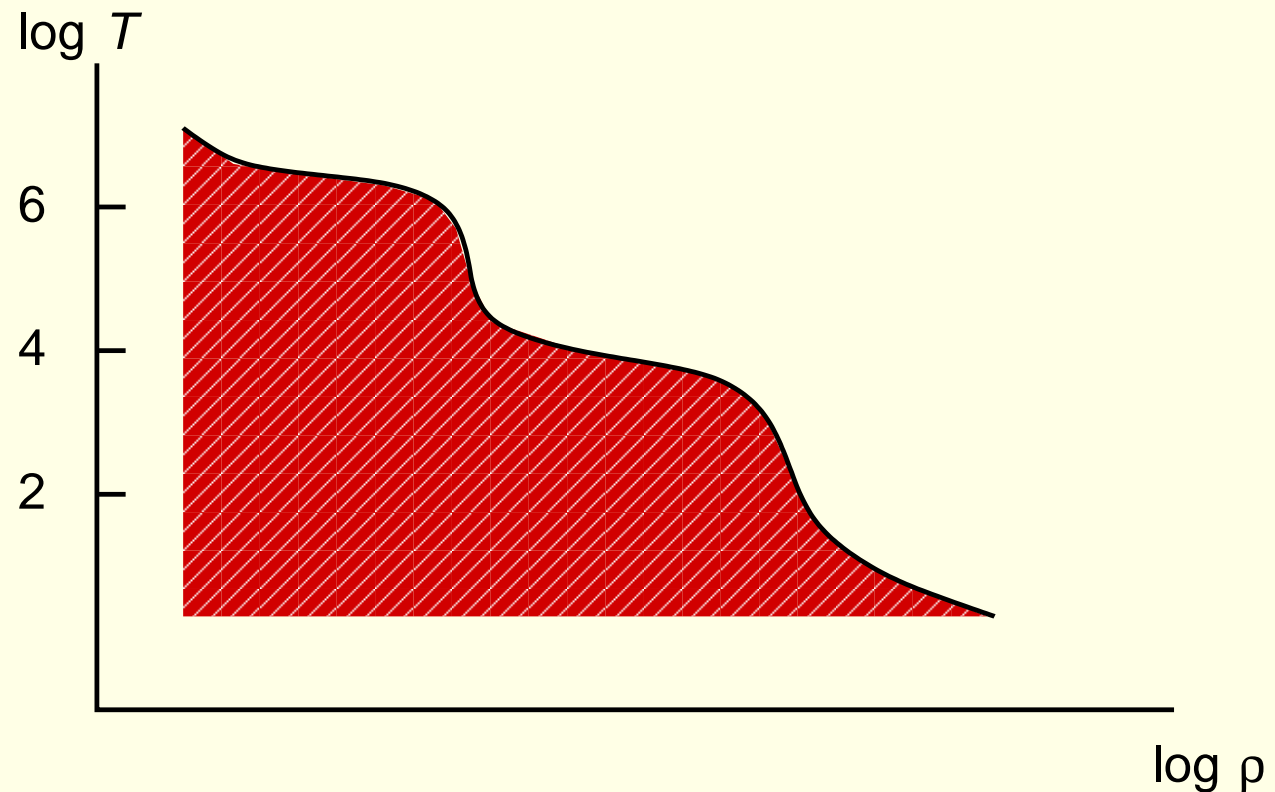
- Fieldovo kritérium *tepelné nestability*



- vyšší teplota než odpovídá rovnováze \Rightarrow ochlazování

Průběh teploty v atmosféře

- Fieldovo kritérium *tepelné nestability*



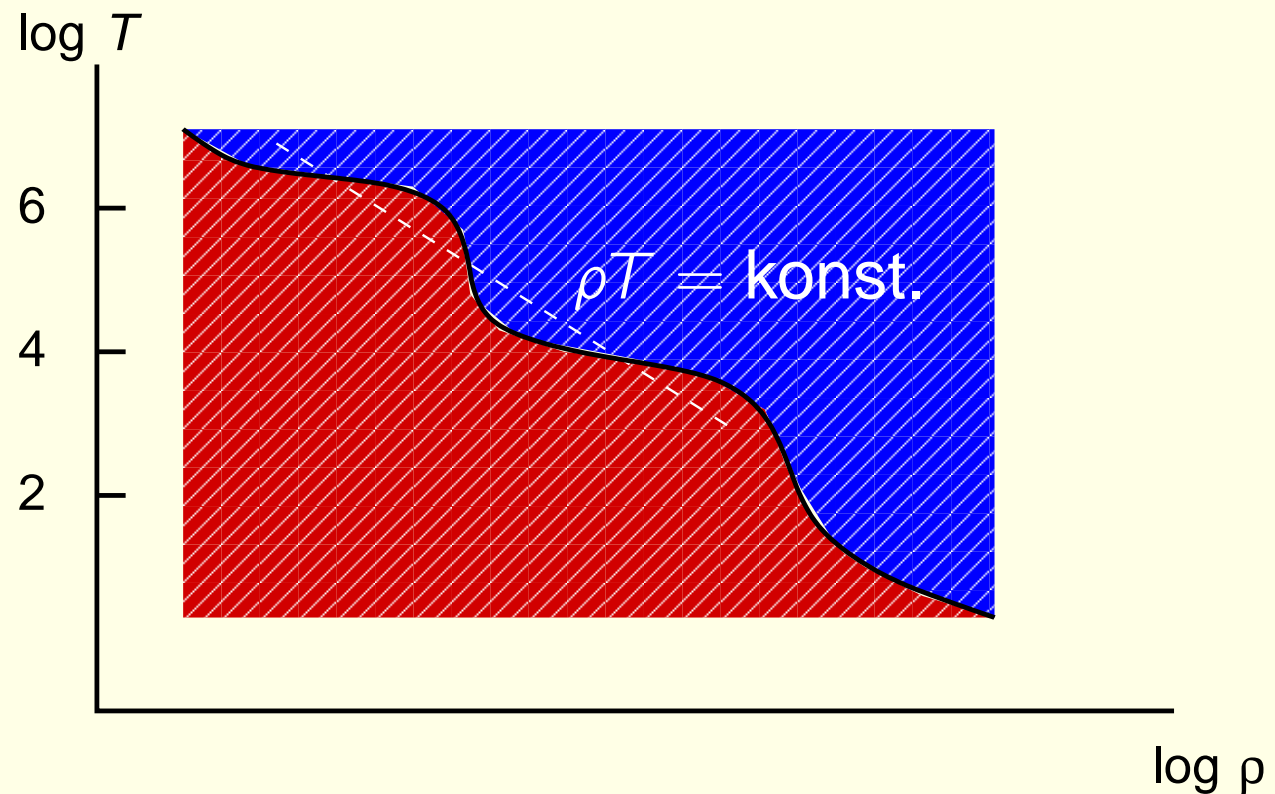
- nižší teplota než odpovídá rovnováze \Rightarrow ohřev

Průběh teploty v atmosféře

- Fieldovo kritérium *tepelné nestability*
- malá bublina s odlišnou teplotou a hustotou než okolní homogenní prostředí
- bublina v mechanické rovnováze s okolím \Rightarrow
 $P \sim \rho T = \text{konst.}$

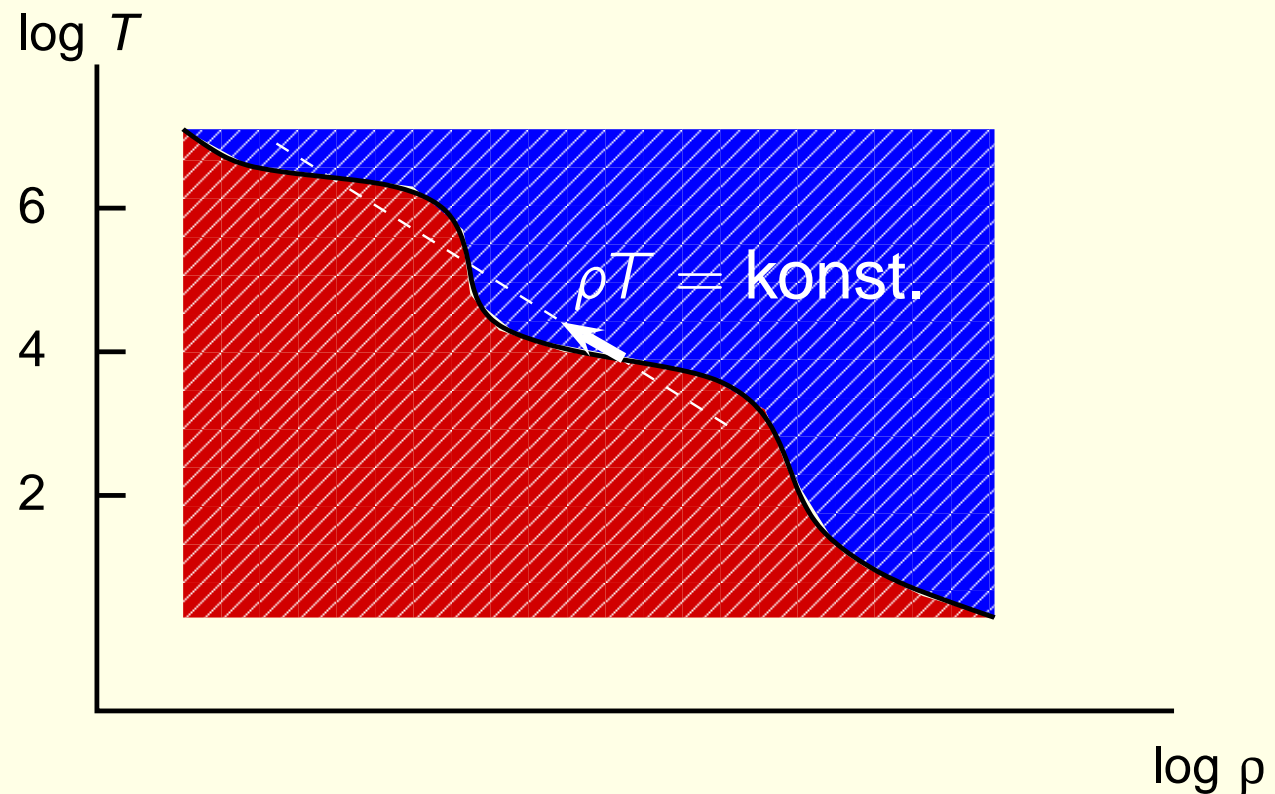
Průběh teploty v atmosféře

- Fieldovo kritérium *tepelné nestability*
- malá bublina s odlišnou teplotou a hustotou



Průběh teploty v atmosféře

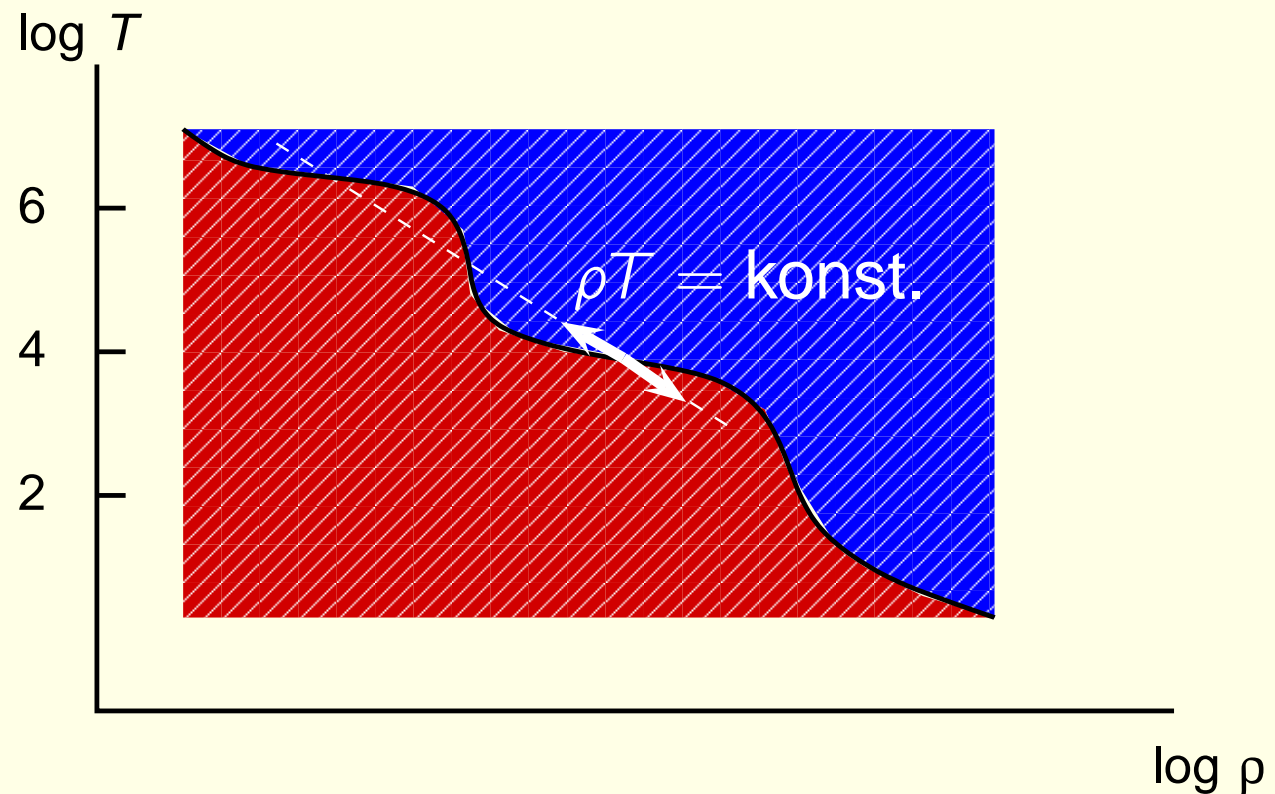
- Fieldovo kritérium *tepelné nestability*
- malá bublina s odlišnou teplotou a hustotou



- zvýšení teploty a snížení hustoty \Rightarrow více ochlazování \Rightarrow *stabilita*

Průběh teploty v atmosféře

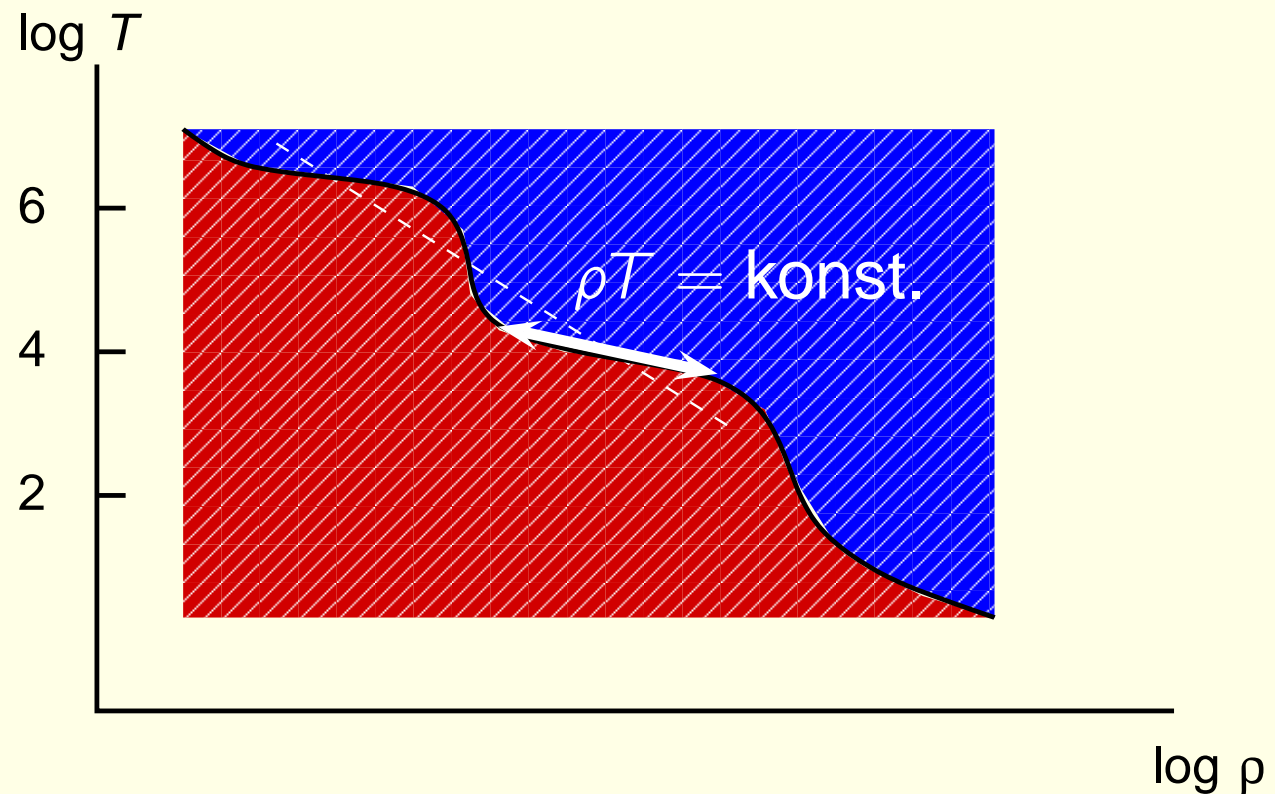
- Fieldovo kritérium *tepelné nestability*
- malá bublina s odlišnou teplotou a hustotou



- snížení teploty a zvýšení hustoty \Rightarrow více ohřevu \Rightarrow *stabilita*

Průběh teploty v atmosféře

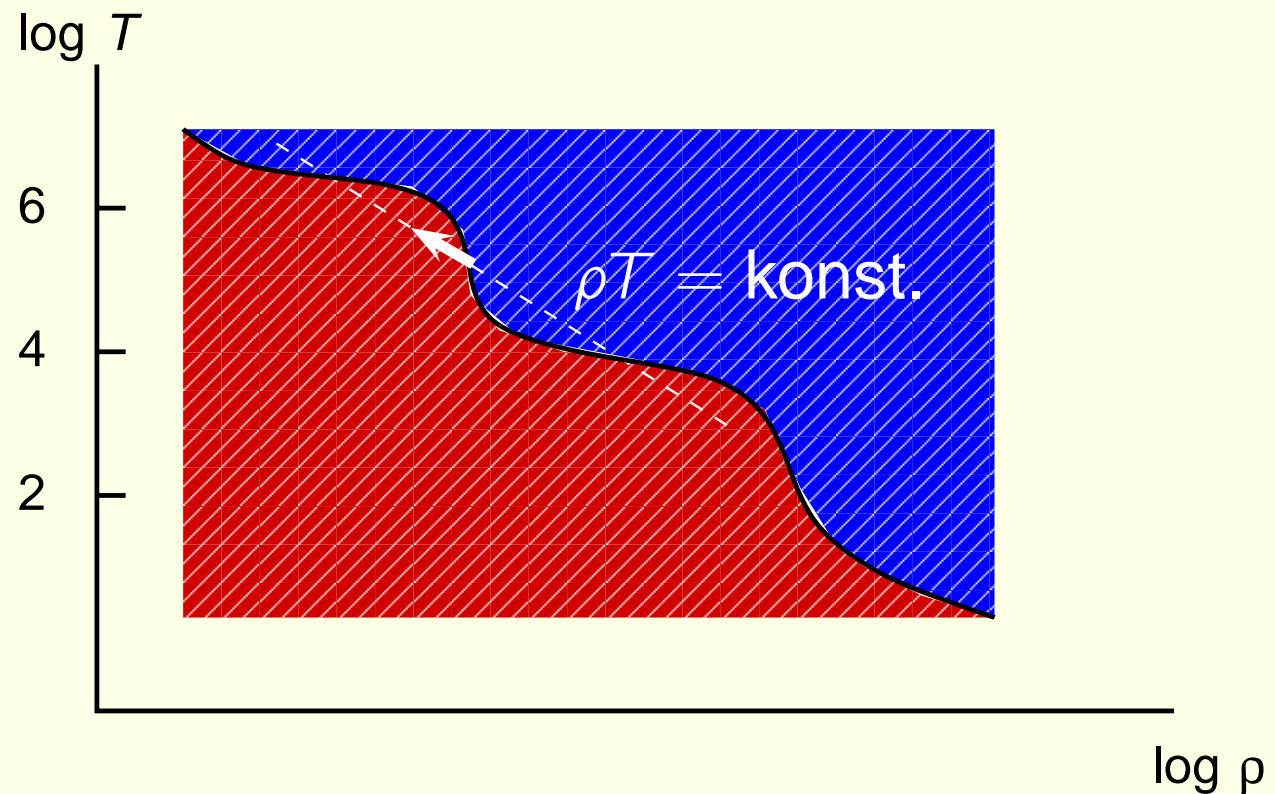
- Fieldovo kritérium *tepelné nestability*
- malá bublina s odlišnou teplotou a hustotou



- oblast *stability*

Průběh teploty v atmosféře

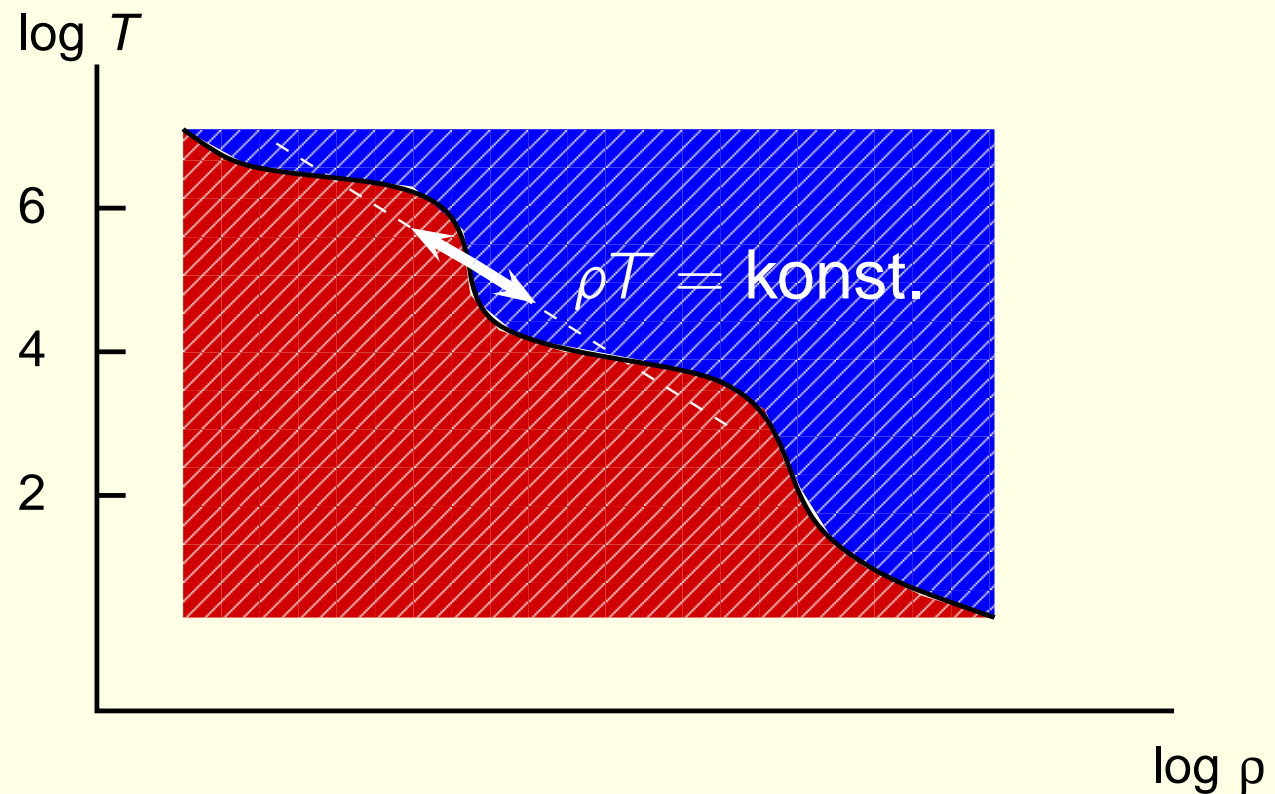
- Fieldovo kritérium *tepelné nestability*
- malá bublina s odlišnou teplotou a hustotou



- zvýšení teploty a snížení hustoty \Rightarrow více ohřevu \Rightarrow *nestabilita*

Průběh teploty v atmosféře

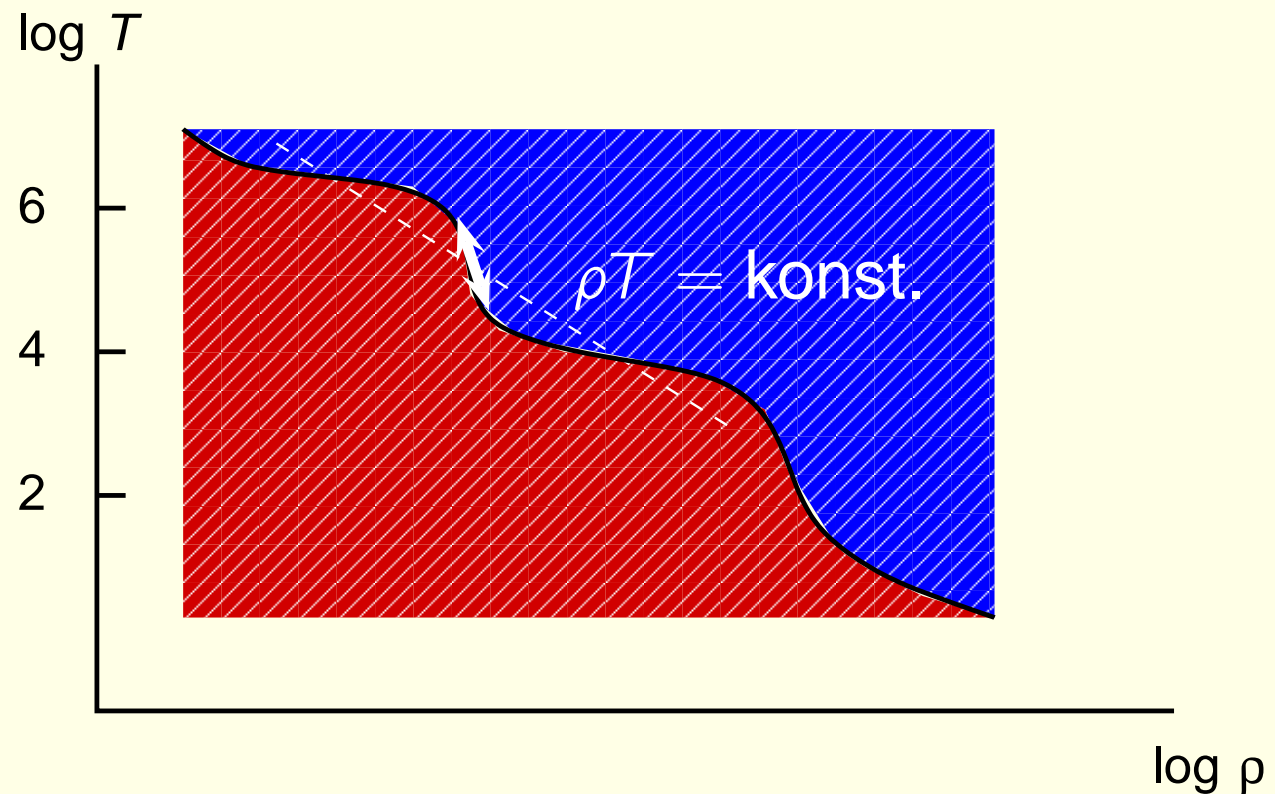
- Fieldovo kritérium *tepelné nestability*
- malá bublina s odlišnou teplotou a hustotou



- snížení teploty a zvýšení hustoty \Rightarrow více ochlazování \Rightarrow *nestabilita*

Průběh teploty v atmosféře

- Fieldovo kritérium *tepelné nestability*
- malá bublina s odlišnou teplotou a hustotou



- oblast *tepelné nestability*

Průběh teploty v atmosféře

- Fieldovo kritérium *tepelné nestability*

$$\left(\frac{\partial \mathcal{L}}{\partial T}\right)_p < 0$$

- důležité např. pro dvoufázový model mezihvězdného prostředí (Field a kol. 1969)

Průběh teploty v atmosféře

- Fieldovo kritérium *tepelné nestability*

$$\left(\frac{\partial \mathcal{L}}{\partial T}\right)_p < 0$$

- chromosféra: teplota $\sim 10^4$ K, stabilní

Průběh teploty v atmosféře

- Fieldovo kritérium *tepelné nestability*

$$\left(\frac{\partial \mathcal{L}}{\partial T}\right)_p < 0$$

- chromosféra: teplota $\sim 10^4$ K, stabilní
- koróna: teplota $\sim 10^6$ K, stabilní

Průběh teploty v atmosféře

- Fieldovo kritérium *tepelné nestability*

$$\left(\frac{\partial \mathcal{L}}{\partial T}\right)_p < 0$$

- chromosféra: teplota $\sim 10^4$ K, stabilní
 - koróna: teplota $\sim 10^6$ K, stabilní
- ⇒ přechodová oblast velice tenká, důležitý přenos tepla vedením

Struktura koróny

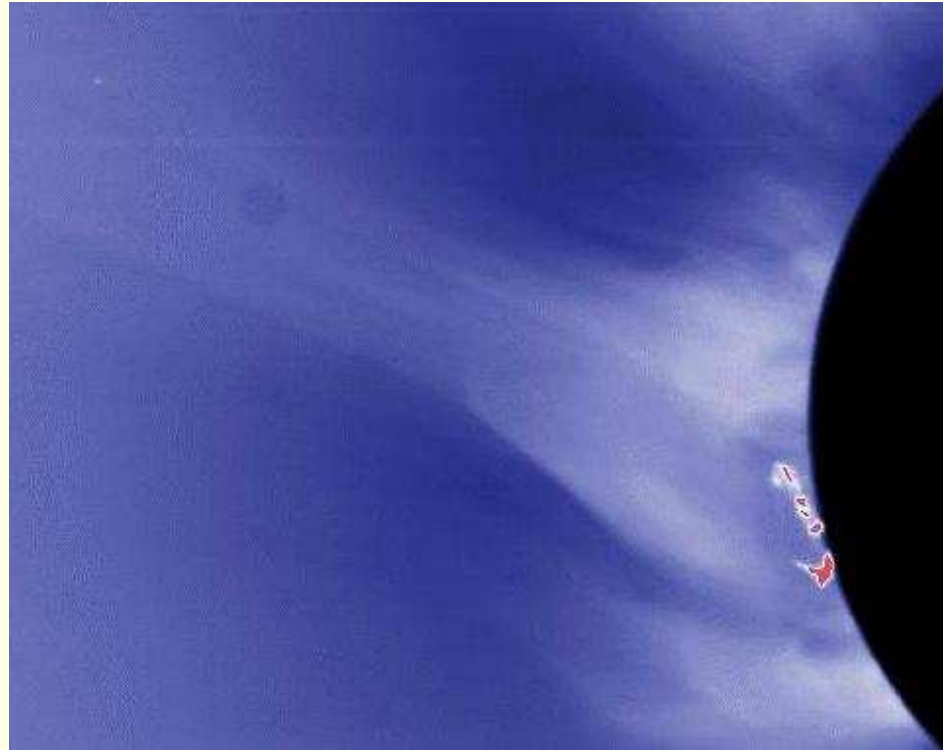
- optická pozorování



magnetické pole: uzavřené (částice drženy) a otevřené (částice unikají) siločáry

Struktura koróny

- optická pozorování – "helmet streamer"



- struktury s uzavřeným magnetickým polem
- základna má často menší intenzitu
- často obsahují protuberanci

Struktura koróny

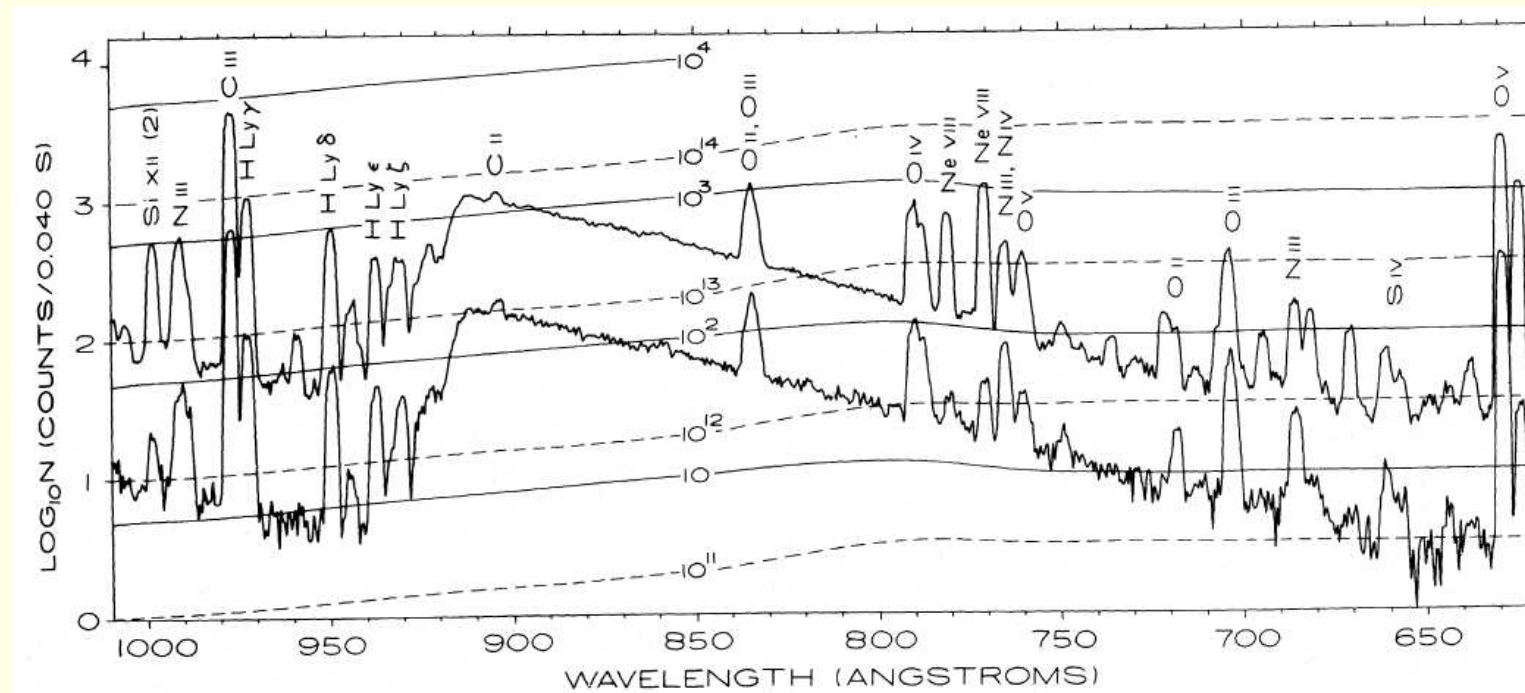
- optická pozorování
 - *K koróna*: vzniká v blízkosti Slunce ve vzdálenosti $r \lesssim 2 R_{\odot}$ v důsledku rozptylu záření sluneční fotosféry na volných elektronech, vysoká rychlost elektronů \Rightarrow "rozmazání" většiny fotosférických čar, pozoruje se pouze polarizované kontinuum (K – "kontinuerlich")

Struktura koróny

- optická pozorování
 - *K koróna*
 - *F koróna* (Fraunhoferova): difrakce záření sluneční fotosféry na částicích prachu v meziplanetárním prostředí (zodiakální světlo), částice se pohybují pomaleji \Rightarrow pozorují se fotosférické Fraunhoferovy čáry

Struktura koróny

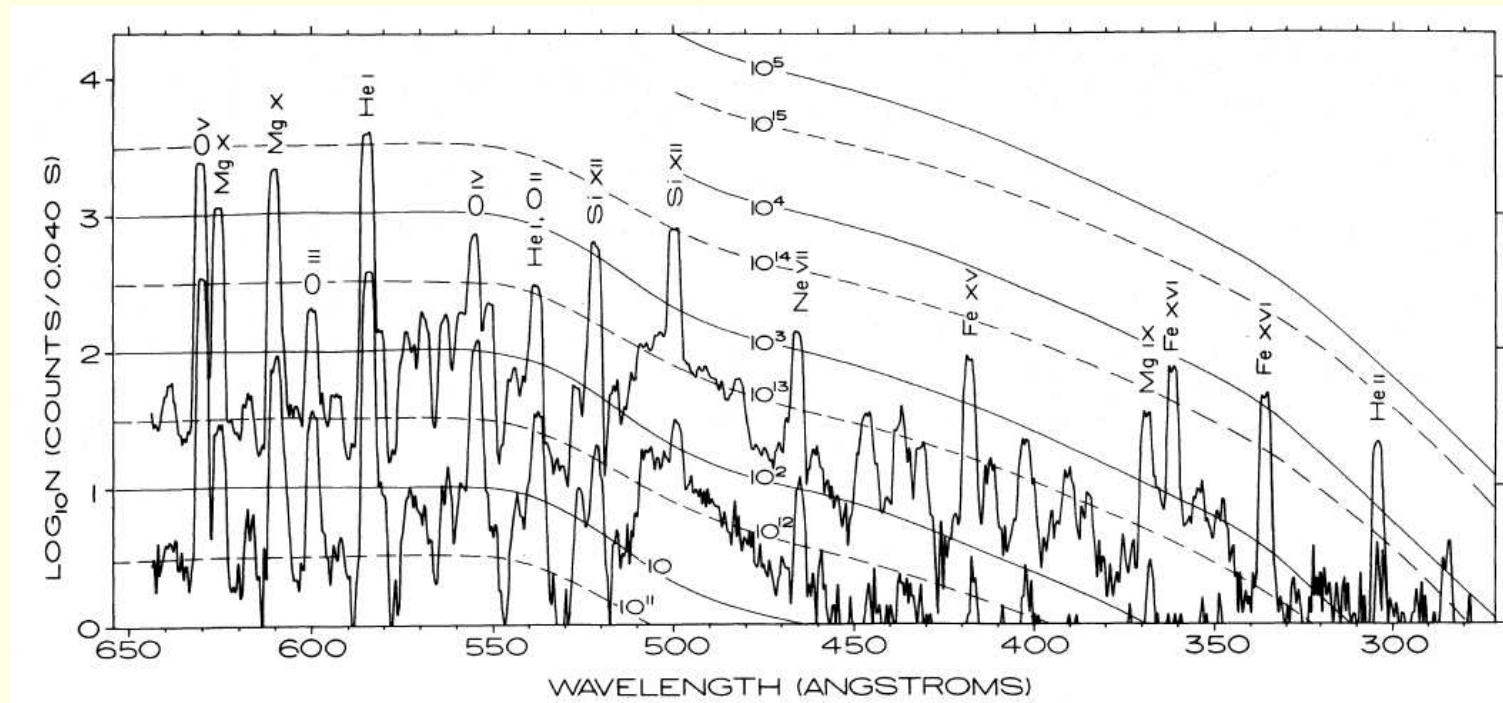
- optická pozorování
 - *K* koróna
 - *F* koróna
- rentgenová a UV oblast (Dupree a kol. 1973)



horní: aktivní oblast, spodní: klidné Slunce

Struktura koróny

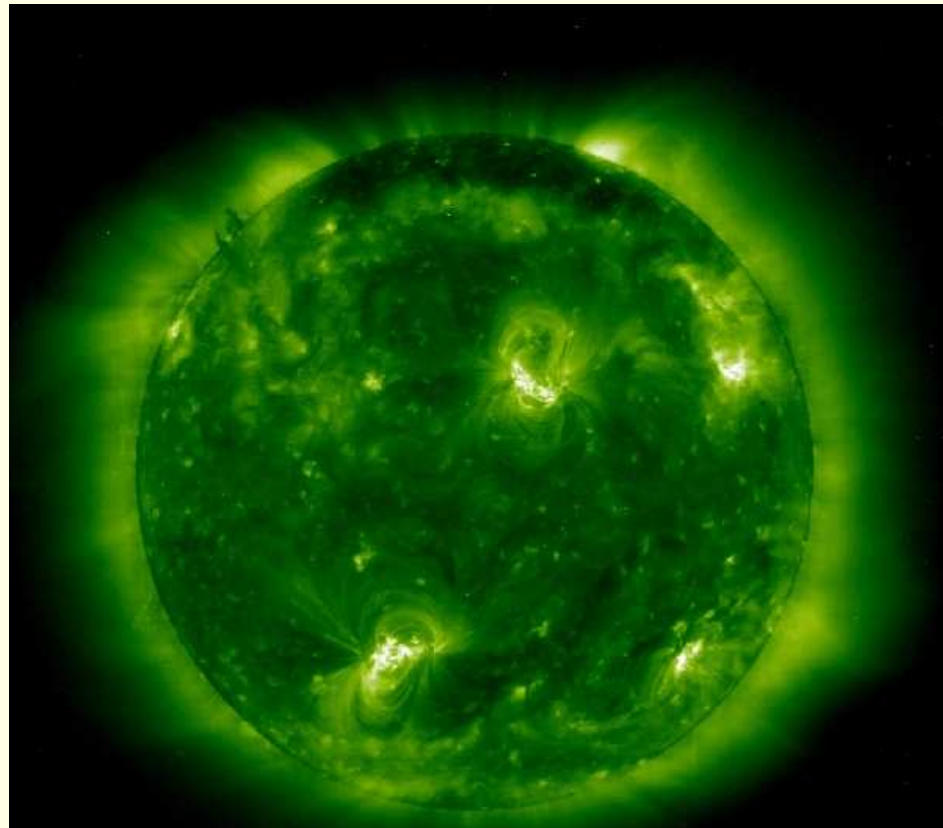
- optická pozorování
 - *K* koróna
 - *F* koróna
- rentgenová a UV oblast (Dupree a kol. 1973)



horní: aktivní oblast, spodní: klidné Slunce

Struktura koróny

- optická pozorování
 - *K koróna*
 - *F koróna*
- rentgenová a UV oblast: SOHO, Fe XII, 195 Å



Struktura koróny

- optická pozorování
 - *K koróna*
 - *F koróna*
- rentgenová a UV oblast: emisních čáry vysoce ionizovaných prvků

Struktura koróny

- optická pozorování
 - *K koróna*
 - *F koróna*
- rentgenová a UV oblast
- radiová oblast
 - sluneční radiové záření s $\lambda \sim 1$ m pochází z koróny a z přechodové oblasti s teplotou $10^5 - 10^6$ K
 - původ: tepelná volně-volná emise, v oblastech se silným magnetickým polem vzniká také synchrotronové záření

Vliv magnetického pole

- struktura koróny určovaná magnetickým polem



Vliv magnetického pole

- struktura koróny určovaná magnetickým polem
- "plazmové beta"

$$\beta = \frac{p}{\rho_{\text{mag}}} = \frac{8\pi p}{B^2}$$

- p je tlak (v pohybujícím se prostředí dynamický tlak ρv^2)
- $\rho_{\text{mag}} = B^2 / (8\pi)$ je tlak magnetického pole

Vliv magnetického pole

- struktura koróny určovaná magnetickým polem
- "plazmové beta"

$$\beta = \frac{\rho}{\rho_{\text{mag}}} = \frac{8\pi\rho}{B^2}$$

- $\beta \gg 1$: magnetické pole určeno dynamikou plynu
- $\beta \ll 1$: dynamika plynu určena magnetickým polem

Vliv magnetického pole

- struktura koróny určovaná magnetickým polem
- "plazmové beta"

$$\beta = \frac{\rho}{\rho_{\text{mag}}} = \frac{8\pi\rho}{B^2}$$

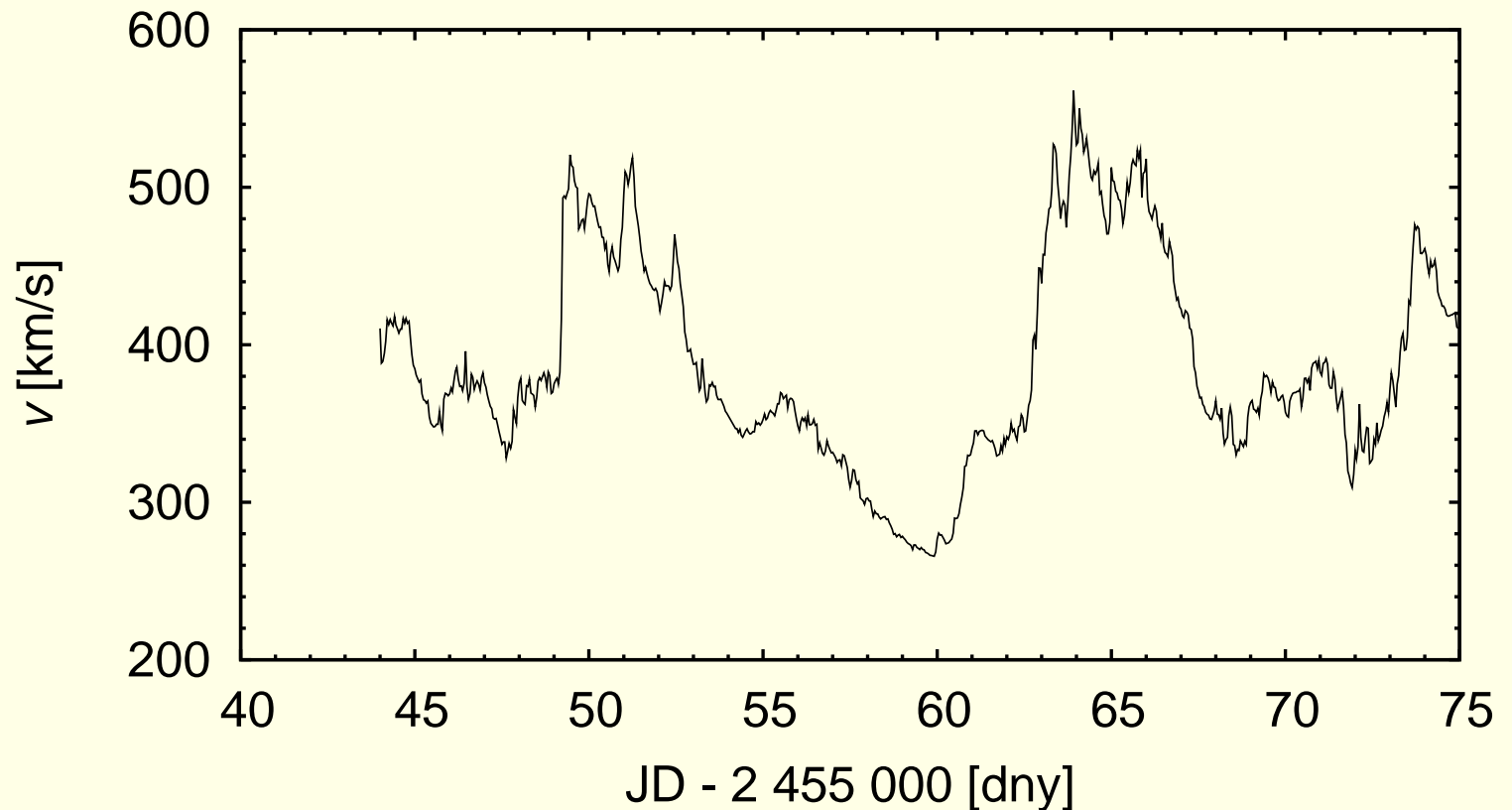
- $\beta \gg 1$: typická fotosféra Slunce
- $\beta \sim 1$: oblasti fotosféry se silným magnetickým polem (typicky skvrny)
- $\beta \ll 1$: koróna v blízkosti Slunce

Měření "in situ" – 1 AU

- Mariner 2 (1962): sluneční vítr je nadzvukový (potvrzení Parkerova modelu), velká proměnnost větru

Měření "in situ" – 1 AU

- rychlost větru (září 2009, družice ACE – NASA)



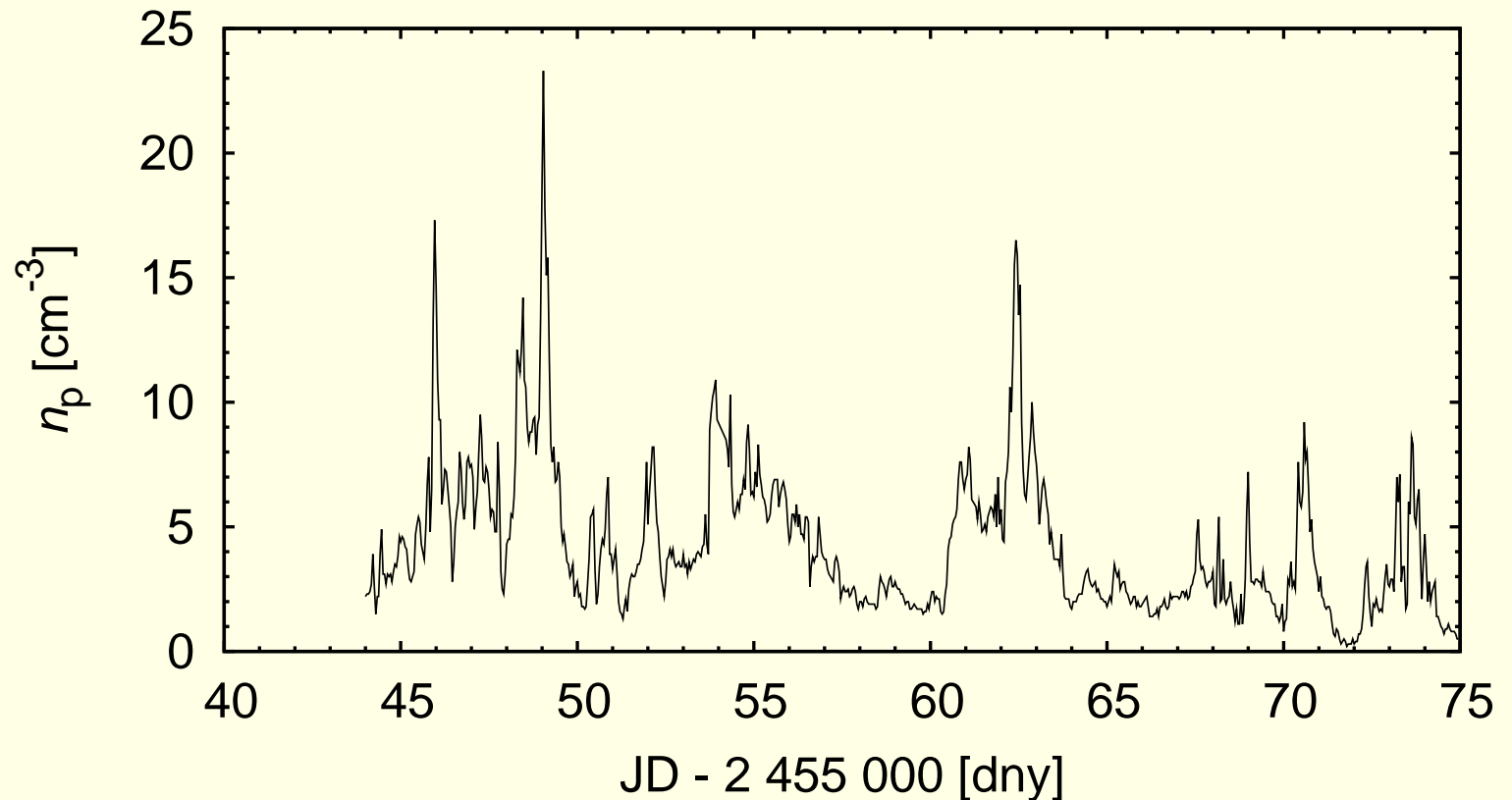
Měření "in situ" – 1 AU

- rychlost větru
 - pomalá složka větru ($\sim 300 \text{ km s}^{-1}$), vzniká typicky v klidné části povrchu
 - rychlá složka větru ($\sim 700 \text{ km s}^{-1}$), vzniká typicky v koronálních dírách

(Feldman a kol. 1977)

Měření "in situ" – 1 AU

- koncentrace protonů (září 2009, družice ACE – NASA)



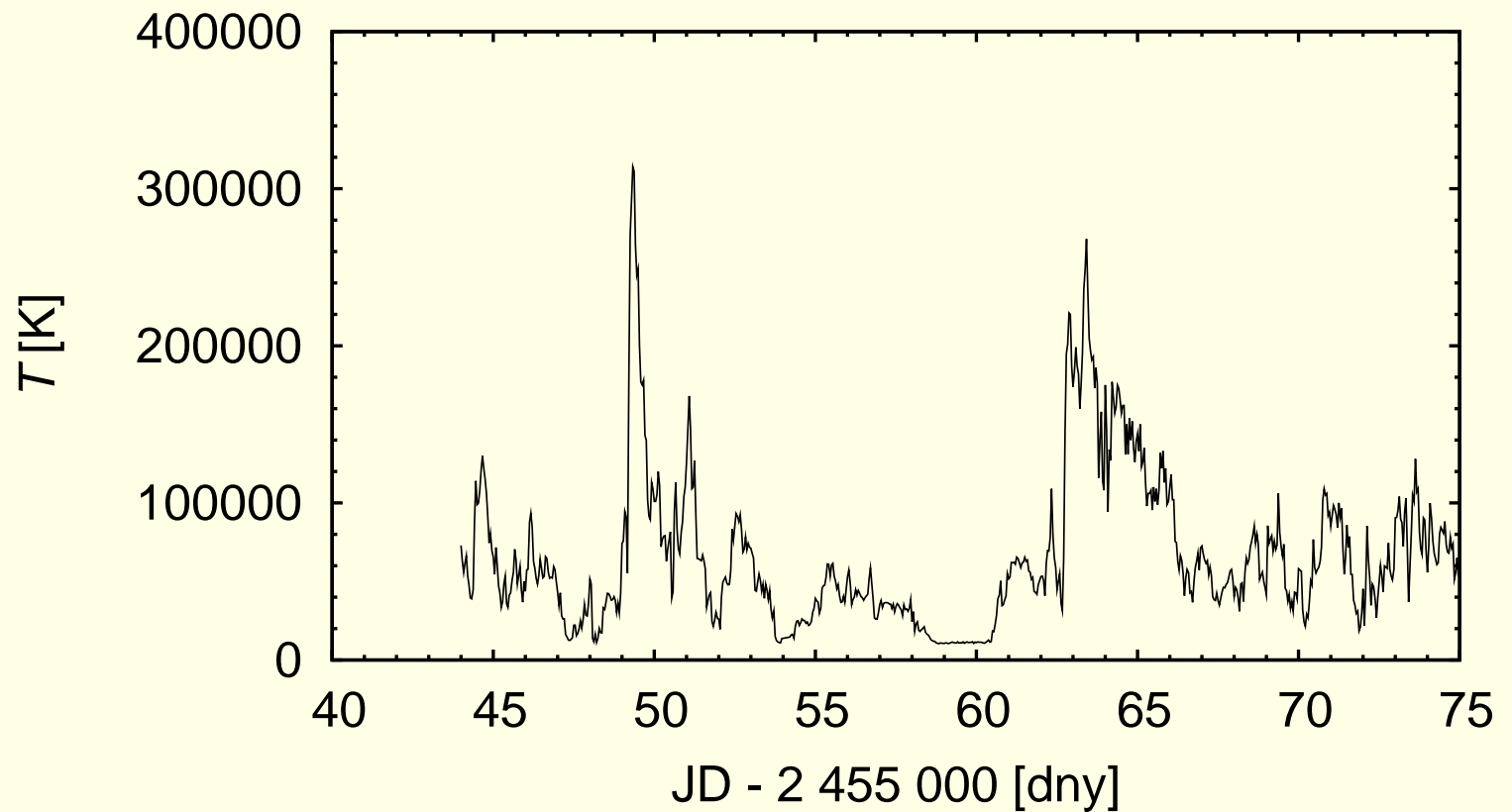
Měření "in situ" – 1 AU

- koncentrace protonů
 - pomalá složka větru ($\sim 12 \text{ cm}^{-3}$)
 - rychlá složka větru ($\sim 4 \text{ cm}^{-3}$)
- proměnná koncentrace helia

(Feldman a kol. 1977)

Měření "in situ" – 1 AU

- teplota iontů (září 2009, družice ACE – NASA)



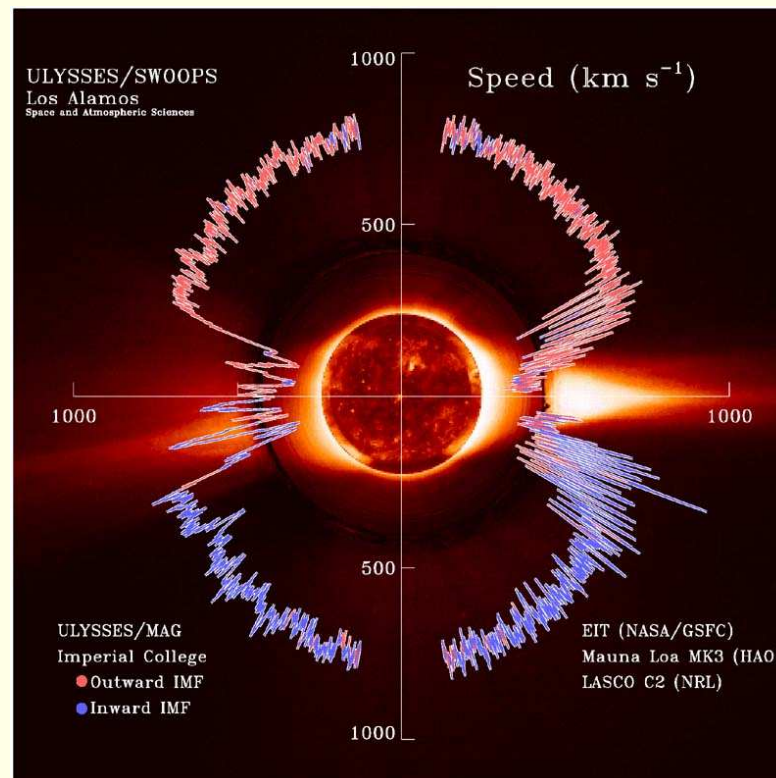
Měření "in situ" – 1 AU

- teplota
 - odlišnost průměrné teploty pomalé a rychlé složky
 - rozdíl teploty jednotlivých částic
 - protony $T_p \approx 1.2 \cdot 10^5$ K
 - elektrony $T_e \approx 1.4 \cdot 10^5$ K
 - jádra helia $T_\alpha \approx 5.8 \cdot 10^5$ K

(Feldman a kol. 1977)

Měření "in situ" – *Ulysses*

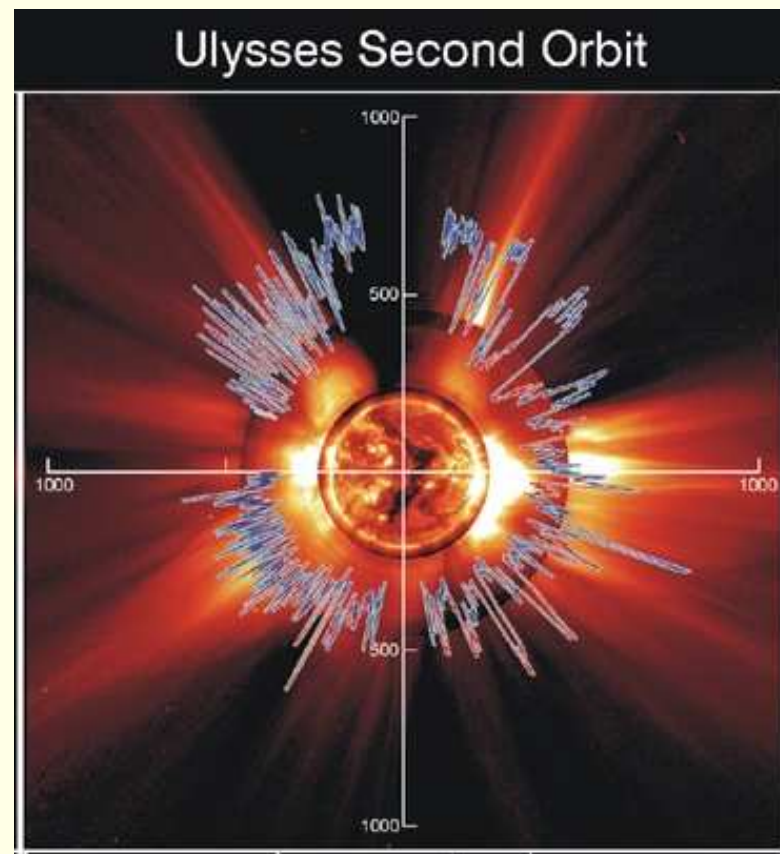
- rychlost slunečního větru v závislosti na šířce (období minima)



(McComas a kol. 2003)

Měření "in situ" – *Ulysses*

- rychlost slunečního větru v závislosti na šířce (období maxima)



(McComas a kol. 2003)

Měření "in situ" – *Ulysses*

- struktura koróny se mění během slunečního cyklu
- mění se také struktura větru
- rychlá složka slunečního větru pochází z koronálních děr nacházejících se typicky v oblastech pólů

Dva problémy sluneční fyziky

- příčina ohřevu koróny
- způsob urychlení rychlé složky slunečního větru (v relativně velké vzdálenosti od Slunce)

Příčina ohřevu koróny

- energie
 - ztráty energie koróny v důsledku záření, vedení a advekce: $3 \cdot 10^{28} \text{ erg s}^{-1}$
 - zhruba 1% výkonu nutného pro ohřev chromosféry
 - zhruba $10^{-5} L_{\odot}$

Příčina ohřevu koróny

- zřejmě dva druhy ohřevu pro různé struktury
 - koronální díry (otevřené siločáry magnetického pole)
 - smyčky

Příčina ohřevu koróny

- disipace mech. a elmag. energie MHD vln
 - chladné hvězdy mají hlubokou podpovrchovou (H) konvektivní zónu
 - konvektivní zóna budí povrchové oscilace

Příčina ohřevu koróny

- disipace mech. a elmag. energie MHD vln
 - chladné hvězdy mají hlubokou podpovrchovou (H) konvektivní zónu
 - konvektivní zóna budí povrchové oscilace
 - vznikající zvukové vlny se šíří do koróny, ohřívají spodní část chromosféry
 - silně tlumeny, nepronikají do koróny

Příčina ohřevu koróny

- disipace mech. a elmag. energie MHD vln
 - chladné hvězdy mají hlubokou podpovrchovou (H) konvektivní zónu
 - konvektivní zóna budí povrchové oscilace
 - vznikající zvukové vlny se šíří do koróny, ohřívají spodní část chromosféry
 - silně tlumeny, nepronikají do koróny
 - silné magnetické pole v koróně \Rightarrow původně zvukové vlny interagují s magnetickým polem, vznikají MHD vlny
 - nejnadějnější tzv. hybridní vlny nebo Alfvénovy vlny (jen úzké pásmo frekvencí)
 - další typy MHD vln tlumeny nebo odrazeny

Příčina ohřevu koróny

- disipace mech. a elmag. energie MHD vln
- ohmický ohřev v důsledku elektrických proudů tekoucích podél siločar magnetického pole

Příčina ohřevu koróny

- disipace mech. a elmag. energie MHD vln
- ohmický ohřev v důsledku elektrických proudů tekoucích podél siločar magnetického pole
 - problém: příliš malý odpor koronálního plazmatu
 - možné řešení: turbulence v plazmatu v důsledku nestabilit v oblastech s vyšší hustotou plazmatu

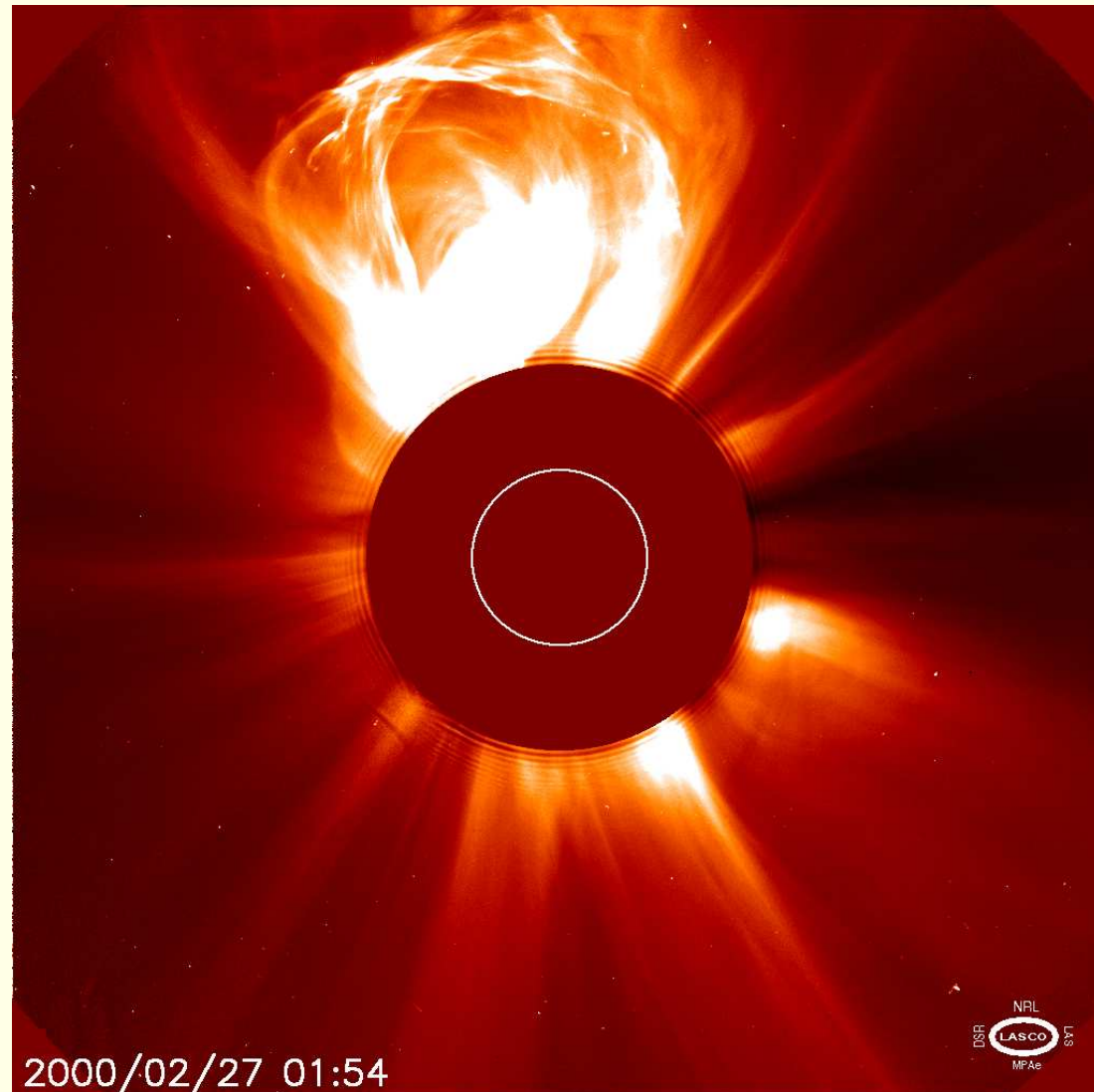
Příčina ohřevu koróny

- disipace mech. a elmag. energie MHD vln
 - ohmický ohřev v důsledku elektrických proudů tekoucích podél siločar magnetického pole
 - problém: příliš malý odpor koronálního plazmatu
 - možné řešení: turbulence v plazmatu v důsledku nestabilit v oblastech s vyšší hustotou plazmatu
- ⇒ ohmický ohřev důležitý zřejmě pouze v malých objemech plazmatu ("nanoflares")
- ⇒ důležité jen pro menší smyčky(?)

Příčina ohřevu koróny

- disipace mech. a elmag. energie MHD vln \Rightarrow velké smyčky a koronální díry(?)
 - ohmický ohřev v důsledku elektrických proudů tekoucích podél siločar magnetického pole
 - problém: příliš malý odpor koronálního plazmatu
 - možné řešení: turbulence v plazmatu v důsledku nestabilit v oblastech s vyšší hustotou plazmatu
- \Rightarrow ohmický ohřev důležitý zřejmě pouze v malých objemech plazmatu ("nanoflares")
- \Rightarrow důležité jen pro menší smyčky(?)

CME – coronal mass ejection



(SOHO, koronograf)

CME – coronal mass ejection

- CME: zhruba 10% ztráty hmoty Slunce

CME – coronal mass ejection

- CME: zhruba 10% ztráty hmoty Slunce
- typicky důsledek erupce nebo rozpadu filamentu

CME – coronal mass ejection

- CME: zhruba 10% ztráty hmoty Slunce
- typicky důsledek erupce nebo rozpadu filamentu
- interagují se zemskou magnetosférou, vznik polárních září

Je sluneční vítr důležitý?

- Slunce bude hvězdou hlavní posloupnosti
 $\sim 11 \times 10^9$ let

Je sluneční vítr důležitý?

- Slunce bude hvězdou hlavní posloupnosti
 $\sim 11 \times 10^9$ let
- Slunce ztrácí hvězdným větrem
 $2 \times 10^{-14} M_{\odot} \text{ rok}^{-1}$

Je sluneční vítr důležitý?

- Slunce bude hvězdou hlavní posloupnosti
 $\sim 11 \times 10^9$ let
 - Slunce ztrácí hvězdným větrem
 $2 \times 10^{-14} M_{\odot} \text{ rok}^{-1}$
 - za celou dobu pobytu na hlavní posloupnosti
ztratí $\sim 10^{-4} M_{\odot}$
- ⇒ příliš malé množství na ovlivnění slunečního vývoje

Brzdění rotace Slunce

- Slunce má magnetické pole

Brzdění rotace Slunce

- Slunce má magnetické pole
- sluneční vítr je ionizovaný

Brzdění rotace Slunce

- Slunce má magnetické pole
 - sluneční vítr je ionizovaný
- ⇒ sluneční vítr se pohybuje podél siločar magnetického pole ($\beta \ll 1$)

Brzdění rotace Slunce

- Slunce má magnetické pole
 - sluneční vítr je ionizovaný
- ⇒ sluneční vítr se pohybuje podél siločar magnetického pole ($\beta \ll 1$)
- magnetické pole až do poloměru $r_A \approx 15 R_\odot$ rotuje jako tuhé těleso se stejnou úhlovou rychlostí jako povrchové vrstvy Slunce

Brzdění rotace Slunce

- Slunce má magnetické pole
 - sluneční vítr je ionizovaný
- ⇒ sluneční vítr se pohybuje podél siločar magnetického pole ($\beta \ll 1$)
- magnetické pole až do poloměru $r_A \approx 15 R_\odot$ rotuje jako tuhé těleso se stejnou úhlovou rychlostí jako povrchové vrstvy Slunce
- ⇒ Slunce prostřednictvím větru ztrácí moment hybnosti, jeho rotace se zpomaluje (Weber a Davis 1967)

Brzdění rotace Slunce

- velikost momentu hybnosti Slunce

$$L = \eta M_{\odot} R_{\odot}^2 \Omega$$

- Ω je velikost úhlové rychlosti
- $\eta \approx 0,1$

$$\Rightarrow \dot{L} = \eta M_{\odot} R_{\odot}^2 \dot{\Omega}$$

Brzdění rotace Slunce

- ztráta momentu sféricky symetrickým větrem

$$\dot{L} = -\frac{2}{3}\dot{M}r_A^2\Omega$$

- r_A je poloměr efektivní korotace větru
- $\dot{M} = 4\pi r^2 \rho v$ je rychlost ztráty hmoty

Brzdění rotace Slunce

- ztráta momentu sféricky symetrickým větrem

$$\dot{L} = -\frac{2}{3}\dot{M}r_A^2\Omega$$

- poloměr efektivní korotace větru:
 - v blízkosti Slunce dominuje magnetické pole, vítr korotuje s polem, $\beta \ll 1$
 - daleko od Slunce dominuje vítr, magnetické pole dáno strukturou větru, $\beta \gg 1$

Brzdění rotace Slunce

- ztráta momentu sféricky symetrickým větrem

$$\dot{L} = -\frac{2}{3}\dot{M}r_A^2\Omega$$

- poloměr efektivní korotace větru:
 - r_A je poloměr, kde magnetické pole přestává být určující pro dynamiku
- ⇒ pro $r = r_A$ je $\beta \approx 1$

Brzdění rotace Slunce

- ztráta momentu sféricky symetrickým větrem

$$\dot{L} = -\frac{2}{3}\dot{M}r_A^2\Omega$$

- poloměr efektivní korotace větru:
 - analytické řešení (Weber a Davis 1967):
pro $r = r_A$ hustota energie magnetického pole rovna hustotě kinetické energie větru

$$\frac{1}{2}\rho v^2 = \frac{B^2}{8\pi}$$

Brzdění rotace Slunce

- ztráta momentu sféricky symetrickým větrem

$$\dot{L} = -\frac{2}{3}\dot{M}r_A^2\Omega$$

- poloměr efektivní korotace větru:

$$v = v_A \equiv \frac{B}{\sqrt{4\pi\rho}}$$

- v_A je tzv. Alfvénova rychlost

Brzdění rotace Slunce

- ztráta momentu sféricky symetrickým větrem

$$\dot{L} = -\frac{2}{3}\dot{M}r_A^2\Omega$$

- poloměr efektivní korotace větru:
 - pomalý vítr, $v < v_A$: \vec{B} je určující
 - rychlý vítr, $v > v_A$: látka je určující

Brzdění rotace Slunce

- ztráta momentu sféricky symetrickým větrem

$$\dot{L} = -\frac{2}{3}\dot{M}r_A^2\Omega$$

- poloměr efektivní korotace větru:

$$v = \frac{B}{\sqrt{4\pi\rho}}$$

Brzdění rotace Slunce

- ztráta momentu sféricky symetrickým větrem

$$\dot{L} = -\frac{2}{3}\dot{M}r_A^2\Omega$$

- poloměr efektivní korotace větru:

$$v = \frac{B}{\sqrt{4\pi\rho}}$$

$$B = B_{\odot} \left(\frac{r}{R_{\odot}} \right)^{-n}$$

- B_{\odot} je povrchové magnetické pole
- $n = 3$ pro dipólové pole

Brzdění rotace Slunce

- ztráta momentu sféricky symetrickým větrem

$$\dot{L} = -\frac{2}{3}\dot{M}r_A^2\Omega$$

- poloměr efektivní korotace větru:

$$v = \frac{B}{\sqrt{4\pi\rho}}$$

$$B = B_{\odot} \left(\frac{r}{R_{\odot}} \right)^{-n}$$

$$\rho = \frac{\dot{M}}{4\pi r^2 v}$$

Brzdění rotace Slunce

- ztráta momentu sféricky symetrickým větrem

$$\dot{L} = -\frac{2}{3}\dot{M}r_A^2\Omega$$

$$\Rightarrow r = r_A = R_\odot \left(\frac{B_\odot R_\odot}{\sqrt{v\dot{M}}} \right)^{\frac{1}{n-1}}$$

Brzdění rotace Slunce

- ztráta momentu sféricky symetrickým větrem

$$\dot{L} = -\frac{2}{3}\dot{M}r_A^2\Omega$$

$$\Rightarrow r = r_A = R_\odot \left(\frac{B_\odot R_\odot}{\sqrt{v\dot{M}}} \right)^{\frac{1}{n-1}}$$

- předpoklad: magnetické pole souvisí s rychlostí rotace

$$B_\odot = k_\odot \Omega^a$$

- k_\odot , a jsou konstanty

Brzdění rotace Slunce

- ztráta momentu sféricky symetrickým větrem

$$\dot{L} = -\frac{2}{3} k_{\odot}^{\frac{2}{n-1}} R_{\odot}^{\frac{2n}{n-1}} v^{-\frac{1}{n-1}} \dot{M}^{\frac{n-2}{n-1}} \Omega^{1+\frac{2a}{n-1}}$$

Brzdění rotace Slunce

- ztráta momentu sféricky symetrickým větrem

$$\begin{aligned}\dot{L} &= -\frac{2}{3} k_{\odot}^{\frac{2}{n-1}} R_{\odot}^{\frac{2n}{n-1}} v^{-\frac{1}{n-1}} \dot{M}^{\frac{n-2}{n-1}} \Omega^{1+\frac{2a}{n-1}} = \\ &= \eta M_{\odot} R_{\odot}^2 \dot{\Omega}\end{aligned}$$

Brzdění rotace Slunce

- ztráta momentu sféricky symetrickým větrem

$$\begin{aligned}\dot{L} &= -\frac{2}{3} k_{\odot}^{\frac{2}{n-1}} R_{\odot}^{\frac{2n}{n-1}} v^{-\frac{1}{n-1}} \dot{M}^{\frac{n-2}{n-1}} \Omega^{1+\frac{2a}{n-1}} = \\ &= \eta M_{\odot} R_{\odot}^2 \dot{\Omega}\end{aligned}$$

- změna úhlové rychlosti rotace

$$\dot{\Omega} \sim -\Omega^{1+\frac{2a}{n-1}}$$

Brzdění rotace Slunce

- ztráta momentu sféricky symetrickým větrem

$$\begin{aligned}\dot{L} &= -\frac{2}{3} k_{\odot}^{\frac{2}{n-1}} R_{\odot}^{\frac{2n}{n-1}} v^{-\frac{1}{n-1}} \dot{M}^{\frac{n-2}{n-1}} \Omega^{1+\frac{2a}{n-1}} = \\ &= \eta M_{\odot} R_{\odot}^2 \dot{\Omega}\end{aligned}$$

- změna úhlové rychlosti rotace

$$\Omega \sim t^{-\frac{n-1}{2a}}$$

Brzdění rotace Slunce

- ztráta momentu sféricky symetrickým větrem

$$\begin{aligned}\dot{L} &= -\frac{2}{3} k_{\odot}^{\frac{2}{n-1}} R_{\odot}^{\frac{2n}{n-1}} v^{-\frac{1}{n-1}} \dot{M}^{\frac{n-2}{n-1}} \Omega^{1+\frac{2a}{n-1}} = \\ &= \eta M_{\odot} R_{\odot}^2 \dot{\Omega}\end{aligned}$$

- změna úhlové rychlosti rotace

$$\Omega \sim t^{-\frac{n-1}{2a}}$$

- magnetického pole hvězd (Saar 1996): $a = 1$

Brzdění rotace Slunce

- ztráta momentu sféricky symetrickým větrem

$$\begin{aligned}\dot{L} &= -\frac{2}{3} k_{\odot}^{\frac{2}{n-1}} R_{\odot}^{\frac{2n}{n-1}} v^{-\frac{1}{n-1}} \dot{M}^{\frac{n-2}{n-1}} \Omega^{1+\frac{2a}{n-1}} = \\ &= \eta M_{\odot} R_{\odot}^2 \dot{\Omega}\end{aligned}$$

- změna úhlové rychlosti rotace

$$\Omega \sim t^{-\frac{n-1}{2a}}$$

- magnetického pole hvězd (Saar 1996): $a = 1$
- pro $n \approx 2$ dostáváme tzv. Skumanichův zákon

$$\Omega \sim t^{-1/2}$$

Brzdění rotace Slunce

- ztráta momentu sféricky symetrickým větrem

$$\begin{aligned}\dot{L} &= -\frac{2}{3} k_{\odot}^{\frac{2}{n-1}} R_{\odot}^{\frac{2n}{n-1}} v^{-\frac{1}{n-1}} \dot{M}^{\frac{n-2}{n-1}} \Omega^{1+\frac{2a}{n-1}} = \\ &= \eta M_{\odot} R_{\odot}^2 \dot{\Omega}\end{aligned}$$

- změna úhlové rychlosti rotace

$$\Omega \sim t^{-\frac{n-1}{2a}}$$

- magnetického pole hvězd (Saar 1996): $a = 1$
- pro $n \approx 2$ dostáváme tzv. Skumanichův zákon

$$\Omega \sim t^{-1/2}$$

- pro $\Omega > 10 \Omega_{\odot}$ saturace, $a \approx 0$

Brzdění rotace Slunce

- ztráta momentu sféricky symetrickým větrem

$$\begin{aligned}\dot{L} &= -\frac{2}{3} k_{\odot}^{\frac{2}{n-1}} R_{\odot}^{\frac{2n}{n-1}} v^{-\frac{1}{n-1}} \dot{M}^{\frac{n-2}{n-1}} \Omega^{1+\frac{2a}{n-1}} = \\ &= \eta M_{\odot} R_{\odot}^2 \dot{\Omega}\end{aligned}$$

- změna úhlové rychlosti rotace

$$\Omega \sim t^{-\frac{n-1}{2a}}$$

- magnetického pole hvězd (Saar 1996): $a = 1$
- pro $n \approx 2$ dostáváme tzv. Skumanichův zákon

$$\Omega \sim t^{-1/2}$$

⇒ sluneční vítr podstatně zbrzdil rotaci Slunce

Další hvězdy

- chladné hvězdy s $T_{\text{eff}} \lesssim 7000 \text{ K}$ mají hlubokou podpovrchovou konvektivní zónu
- ⇒ chladné hvězdy (hlavní posloupnosti) by měly mít koronální vítr

Další hvězdy

- chladné hvězdy s $T_{\text{eff}} \lesssim 7000 \text{ K}$ mají hlubokou podpovrchovou konvektivní zónu
- ⇒ chladné hvězdy (hlavní posloupnosti) by měly mít koronální vítr
- je možné pozorovat koronální vítr vzdálených hvězd (jak by vypadalo Slunce ze vzdálenosti $\sim 10 \text{ pc}$?)

Další hvězdy

- chladné hvězdy s $T_{\text{eff}} \lesssim 7000 \text{ K}$ mají hlubokou podpovrchovou konvektivní zónu
- ⇒ chladné hvězdy (hlavní posloupnosti) by měly mít koronální vítr
- je možné pozorovat koronální vítr vzdálených hvězd (jak by vypadalo Slunce ze vzdálenosti $\sim 10 \text{ pc}$?)
 - rentgenová emise
 - brzdění hvězdné rotace

Předpokládaný vývoj

- na počátku hvězdy rotují rychle

Předpokládaný vývoj

- na počátku hvězdy rotují rychle
- během vývoje dochází ke ztrátě momentu hybnosti v důsledku koronálního větru

Předpokládaný vývoj

- na počátku hvězdy rotují rychle
 - během vývoje dochází ke ztrátě momentu hybnosti v důsledku koronálního větru
- ⇒ klesá povrchová rotační rychlost

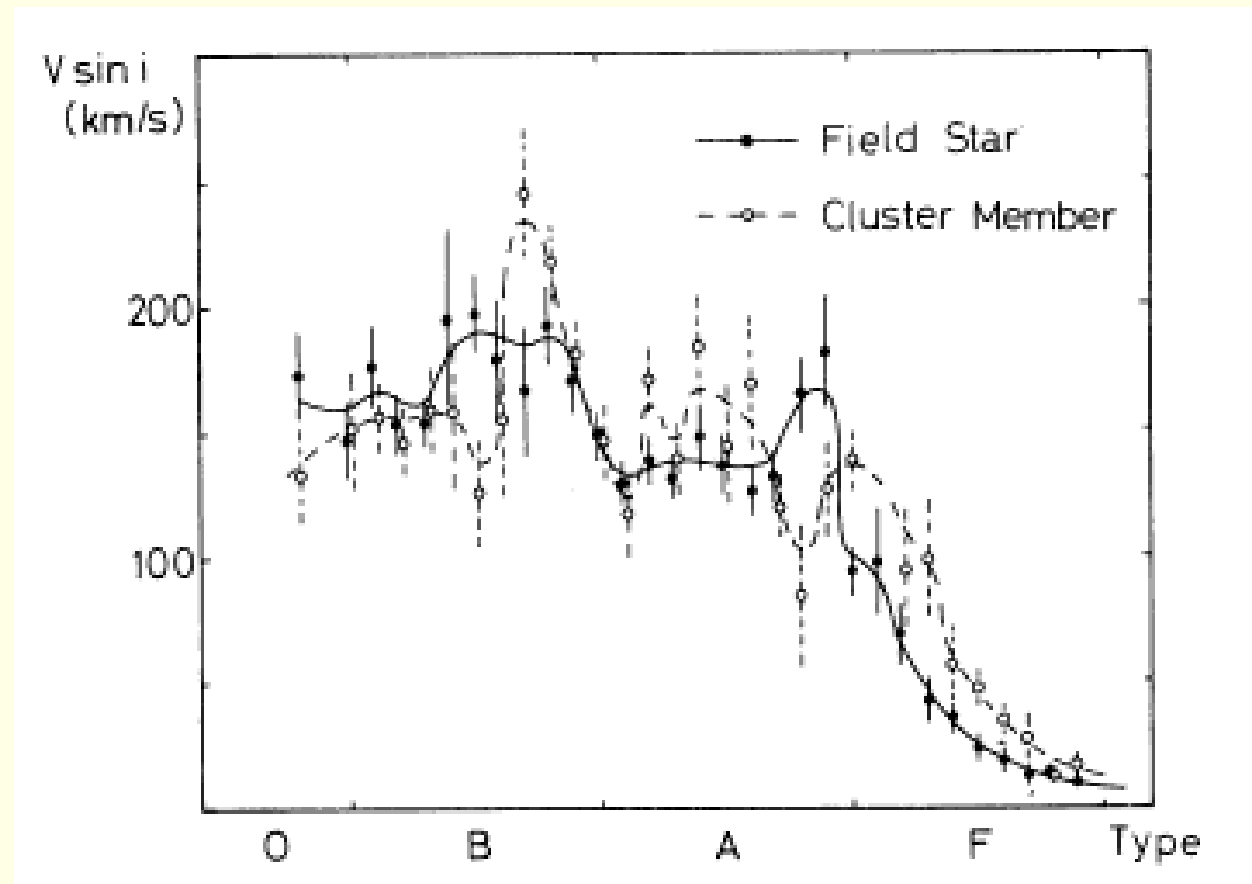
Předpokládaný vývoj

- na počátku hvězdy rotují rychle
 - během vývoje dochází ke ztrátě momentu hybnosti v důsledku koronálního větru
- ⇒ klesá povrchová rotační rychlost
- ⇒ podpovrchové dynamo méně efektivní

Předpokládaný vývoj

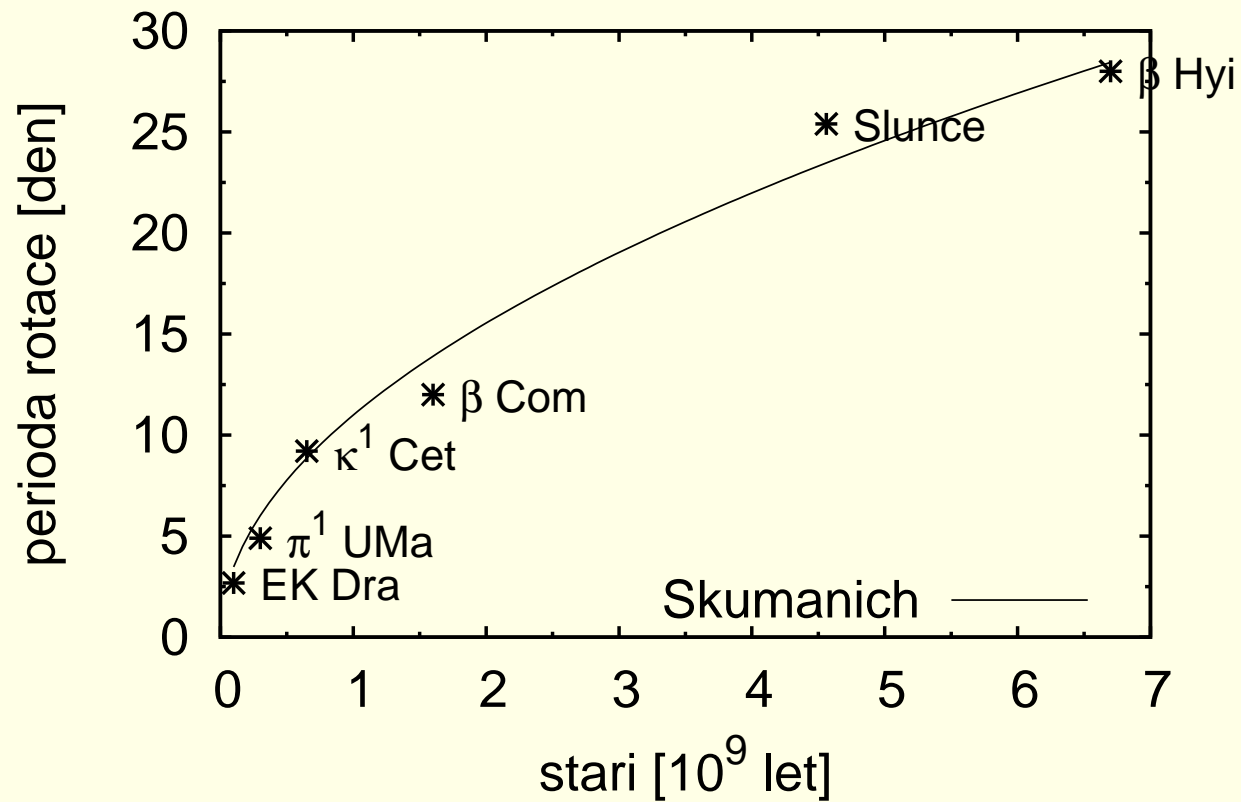
- na počátku hvězdy rotují rychle
 - během vývoje dochází ke ztrátě momentu hybnosti v důsledku koronálního větru
- ⇒ klesá povrchová rotační rychlost
- ⇒ podpovrchové dynamo méně efektivní
- ⇒ klesá hvězdná aktivita, klesá rentgenový zářivý výkon

Další hvězdy – rychlost rotace



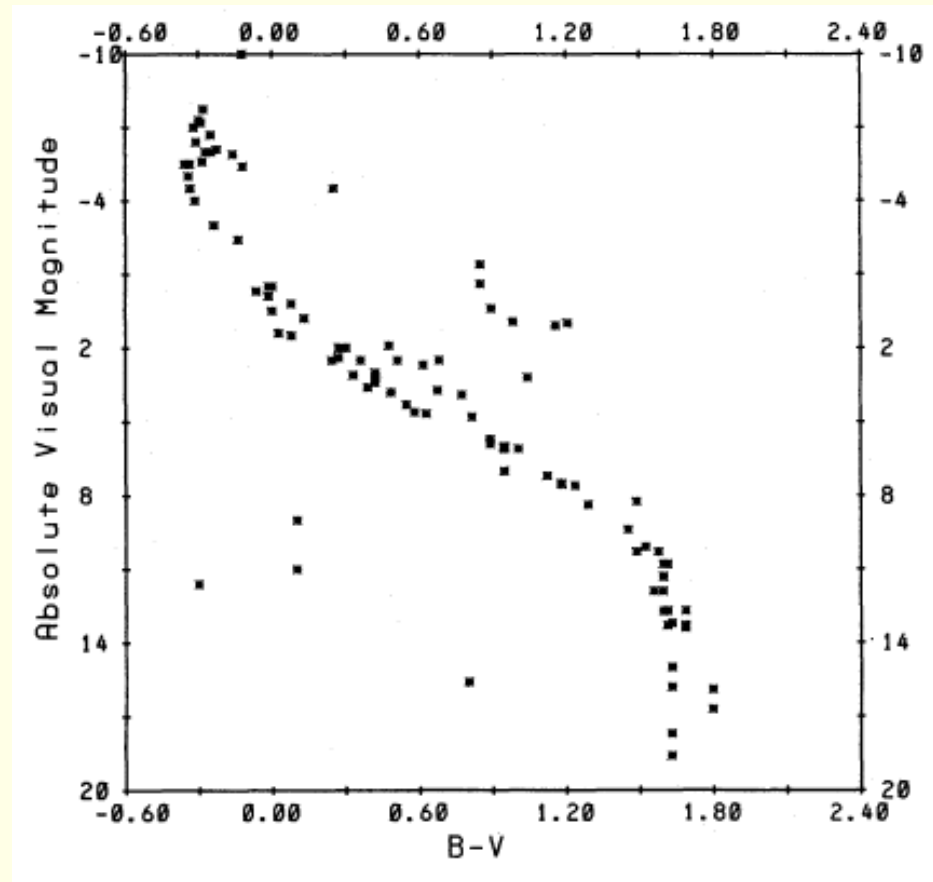
- chladné hvězdy s hlubokou podpovrchovou konvektivní zónou (pozdější než zhruba F5) rotují v průměru pomaleji (Fukuda 1982)

Další hvězdy – rychlost rotace



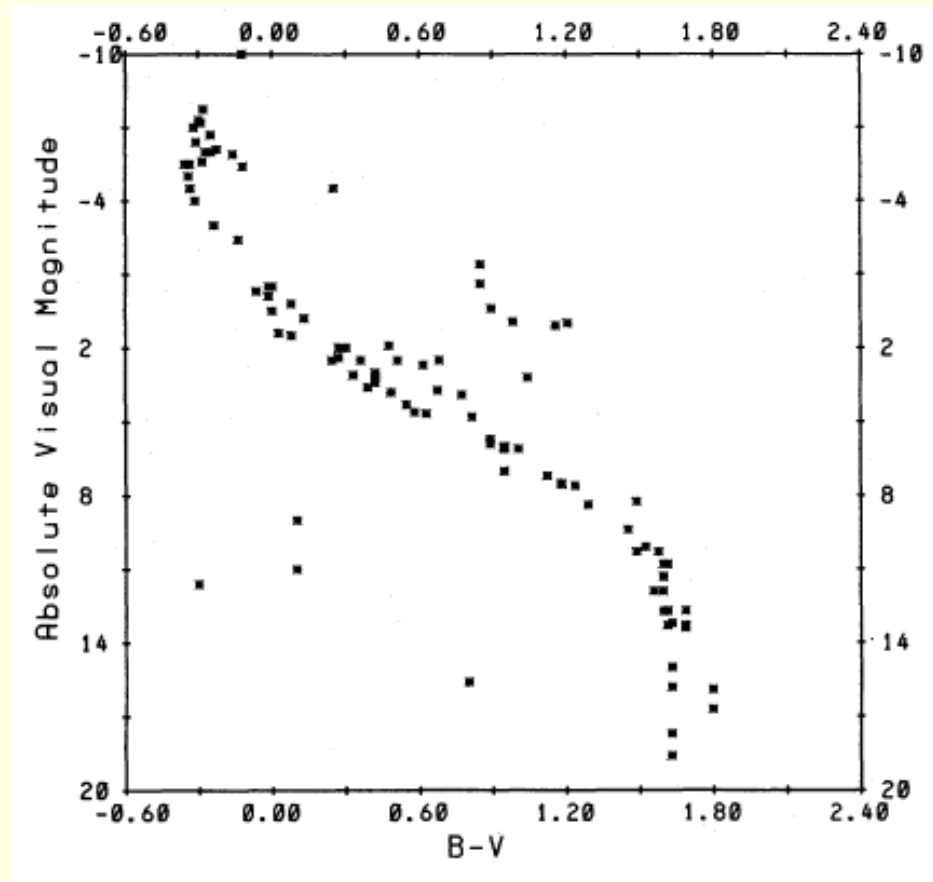
- pozorovaná souvislost mezi stářím a periodou rotace hvězd podobných Slunci v porovnání se Skumanichovým zákonem (Ribas a kol. 2005)

Další hvězdy – rentgenová emise



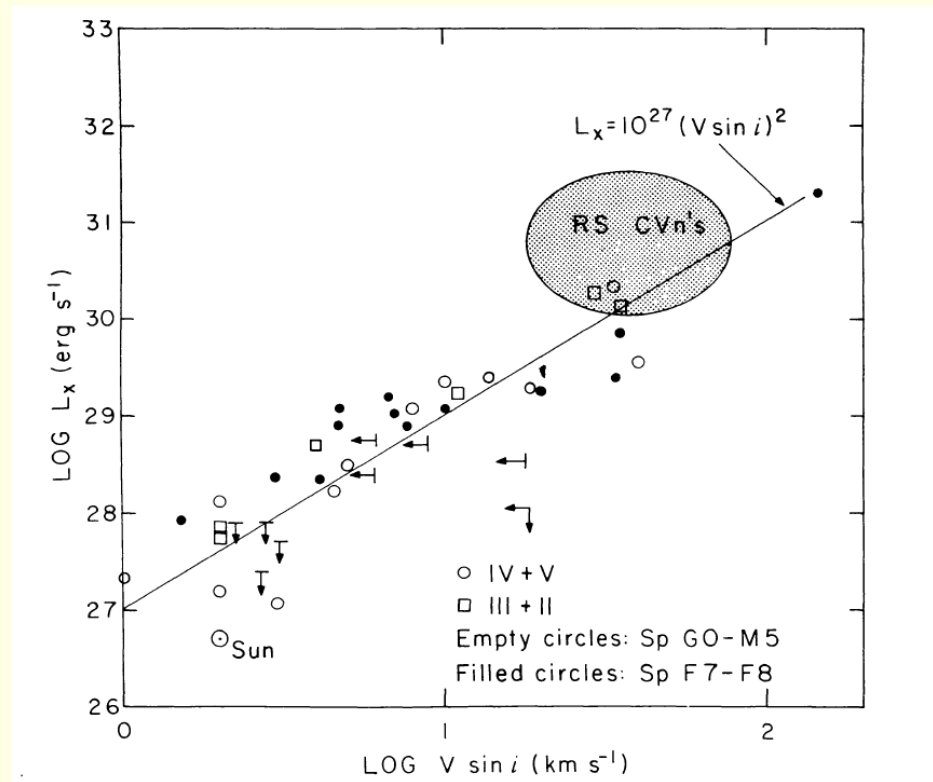
- měkké rentgenové zdroje na HR diagramu (Vaiana 1983, Rosner a kol. 1985, družice EINSTEIN)

Další hvězdy – rentgenová emise



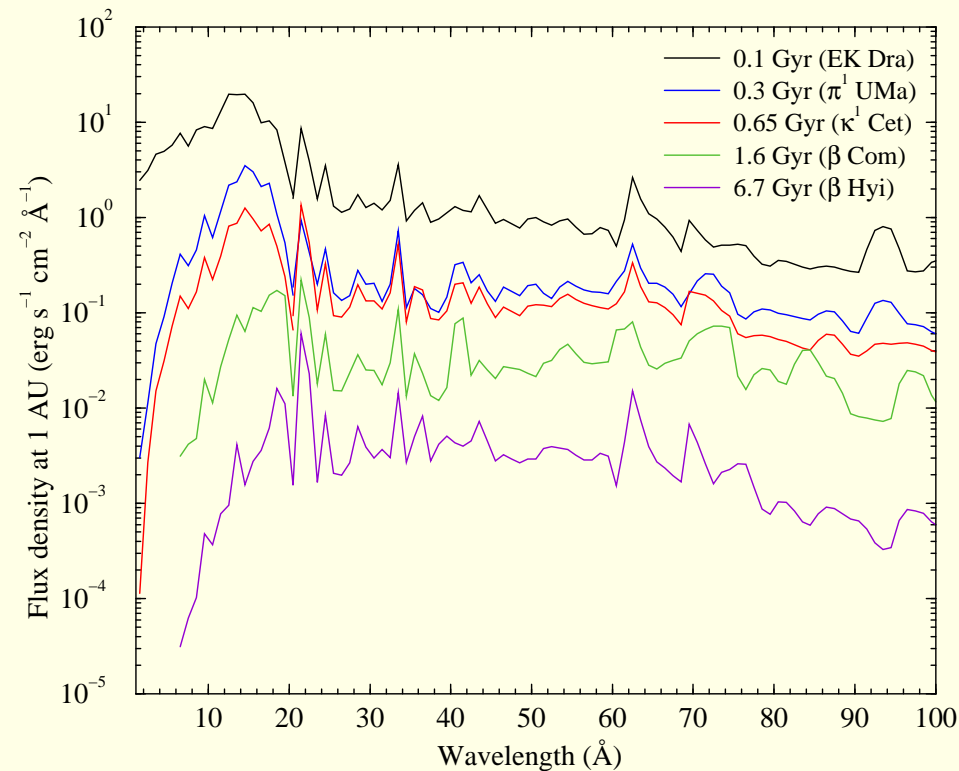
⇒ chladné hvězdy HP pozdějších spektrálních typů než F5V a hvězdy v pozdějších stadiích vývoje F5IV – K1III mají korónu

Další hvězdy – rentgenová emise



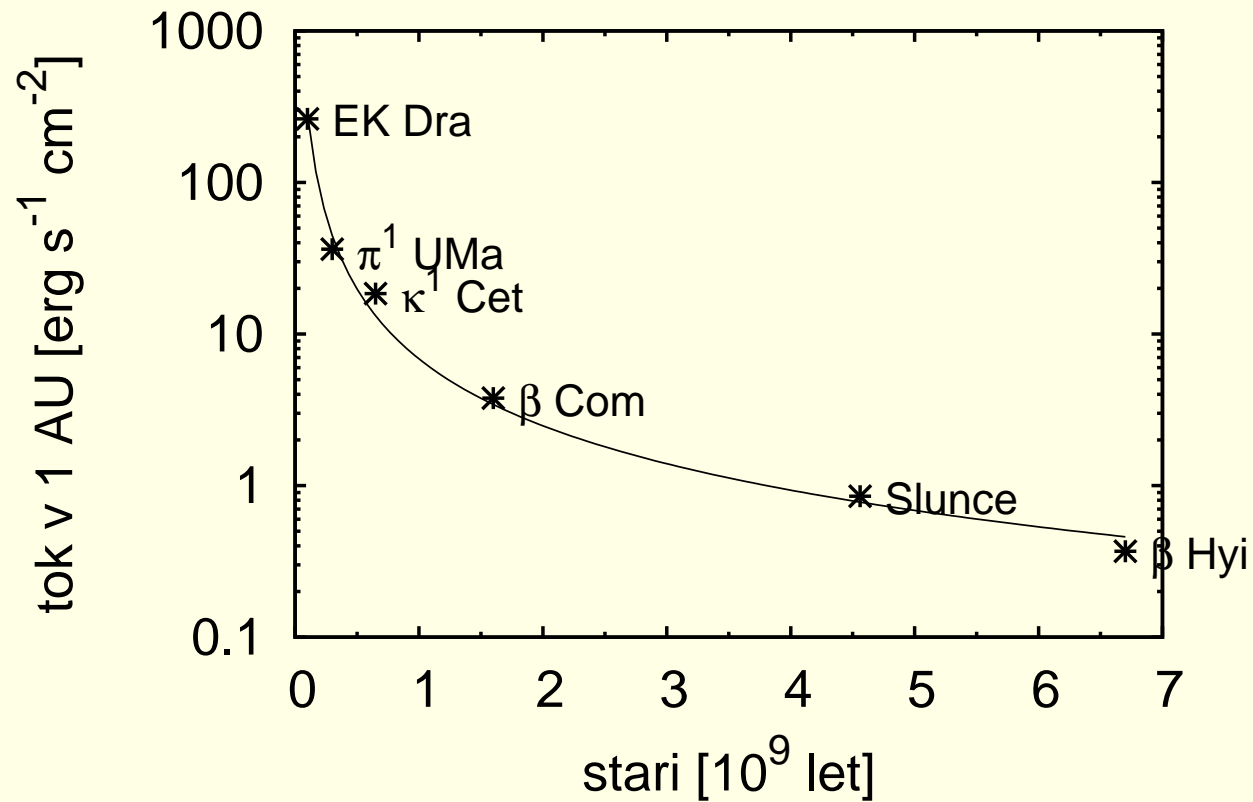
- souvislost rentgenového zářivého výkonu a průmětu rotační rychlosti (Vaiana 1983, Rosner a kol. 1985, družice EINSTEIN)

Další hvězdy – rentgenová emise



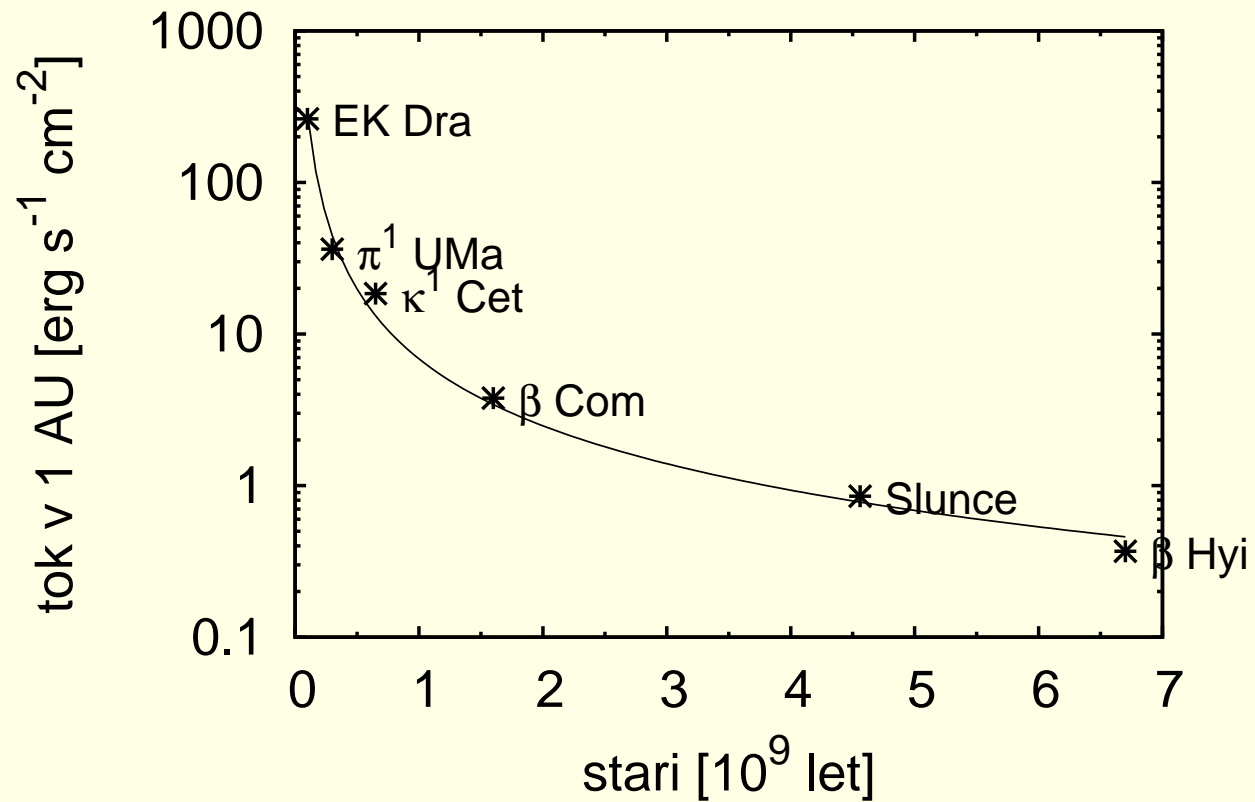
- proložený pozorovaný rentgenový tok (ASCA, ROSAT) pro hvězdy s různým stářím (Ribas a kol. 2005)
- během vývoje pokles o tři řády!

Další hvězdy – rentgenová emise



- závislost pozorovaného rentgenového toku na stáří (Ribas a kol. 2005)

Další hvězdy – rentgenová emise



⇒ mladé málo hmotné hvězdy by měly být zdrojem silné rentgenové emise

Další hvězdy – \dot{M}

- přímá měření rychlosti ztráty hmoty dosud nedostupná

Další hvězdy – \dot{M}

- přímá měření rychlosti ztráty hmoty dosud nedostupná
- hvězdný vítr v důsledku interakce s mezihvězdným prostředím vytváří v okolí hvězdy *astrosféru* (*heliosféru*)

Další hvězdy – \dot{M}

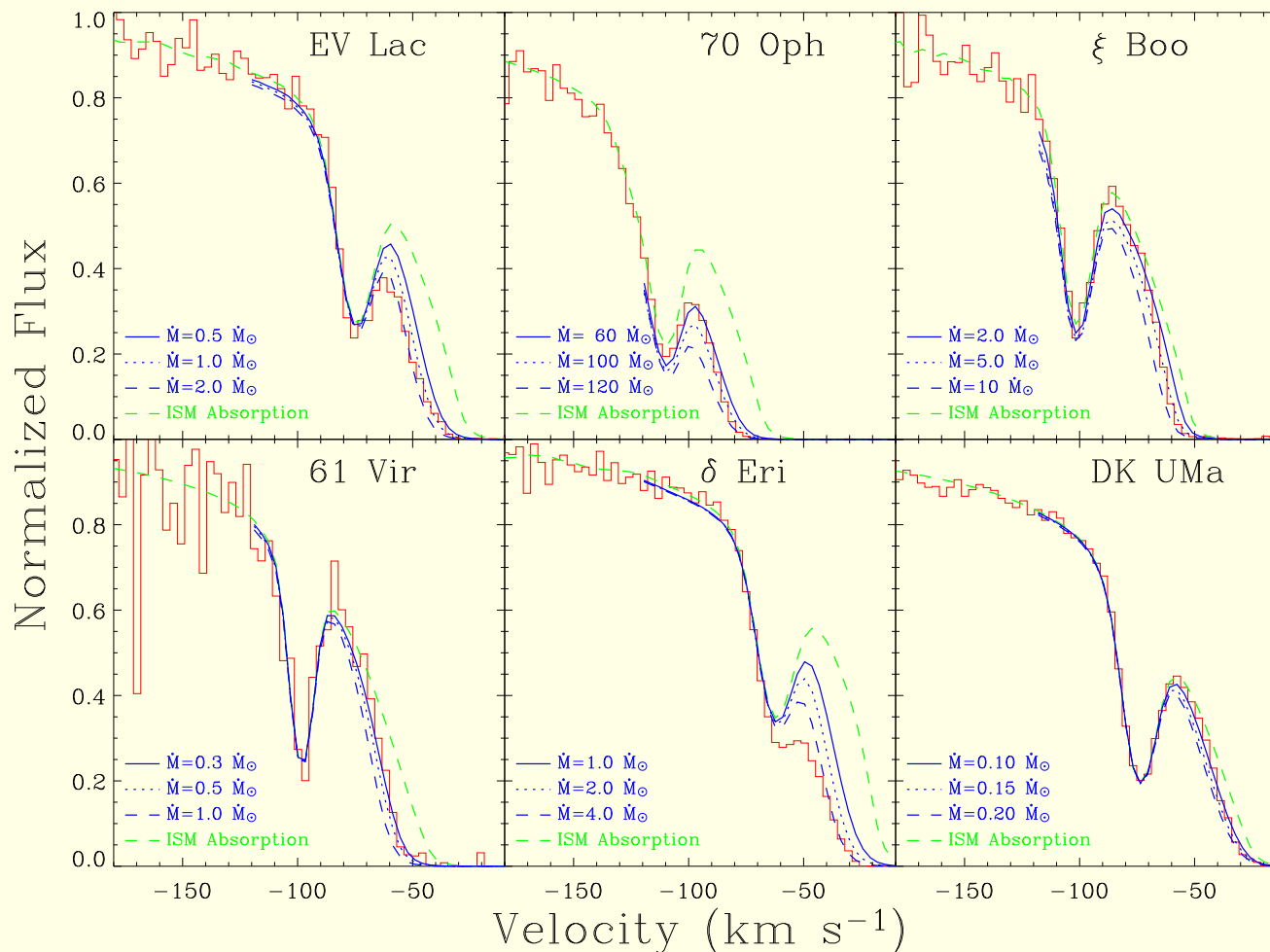
- přímá měření rychlosti ztráty hmoty dosud nedostupná
- hvězdný vítr v důsledku interakce s mezihvězdným prostředím vytváří v okolí hvězdy *astrosféru* (*heliosféru*)
- vítr před sebou "hrne" oblast neutrálního vodíku pocházejícího z mezihvězdného prostředí

Další hvězdy – \dot{M}

- přímá měření rychlosti ztráty hmoty dosud nedostupná
- hvězdný vítr v důsledku interakce s mezihvězdným prostředím vytváří v okolí hvězdy *astrosféru* (*heliosféru*)
- vítr před sebou "hrne" oblast neutrálního vodíku pocházejícího z mezihvězdného prostředí
- možnost určení \dot{M} z profilů čáry $\text{Ly}\alpha$ (Wood a Linksy 1998, Wood a kol. 2002)

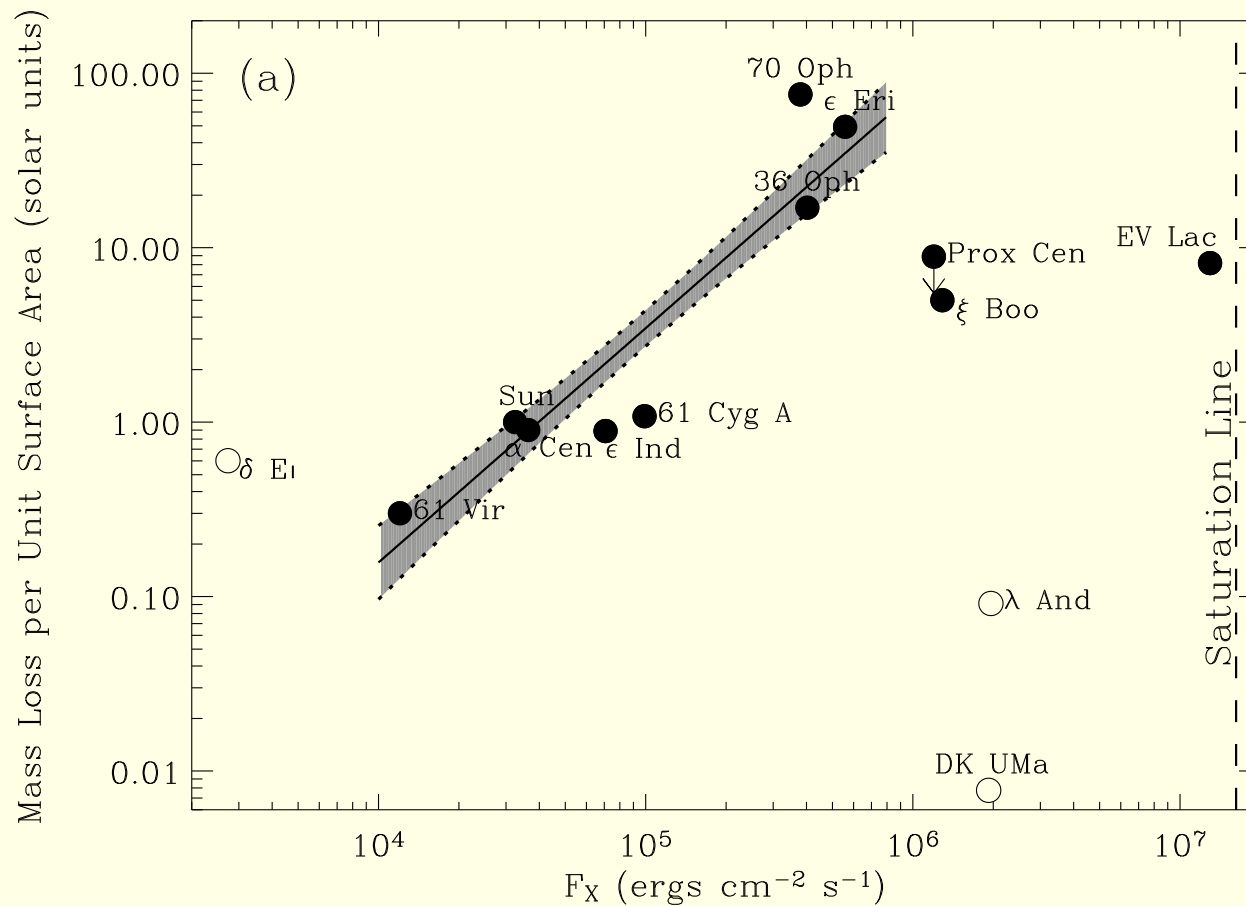
Určování \dot{M} pomocí $\text{Ly}\alpha$

- fitování křídel $\text{Ly}\alpha$ čáry za předpokladu absorpce záření v astrosféře



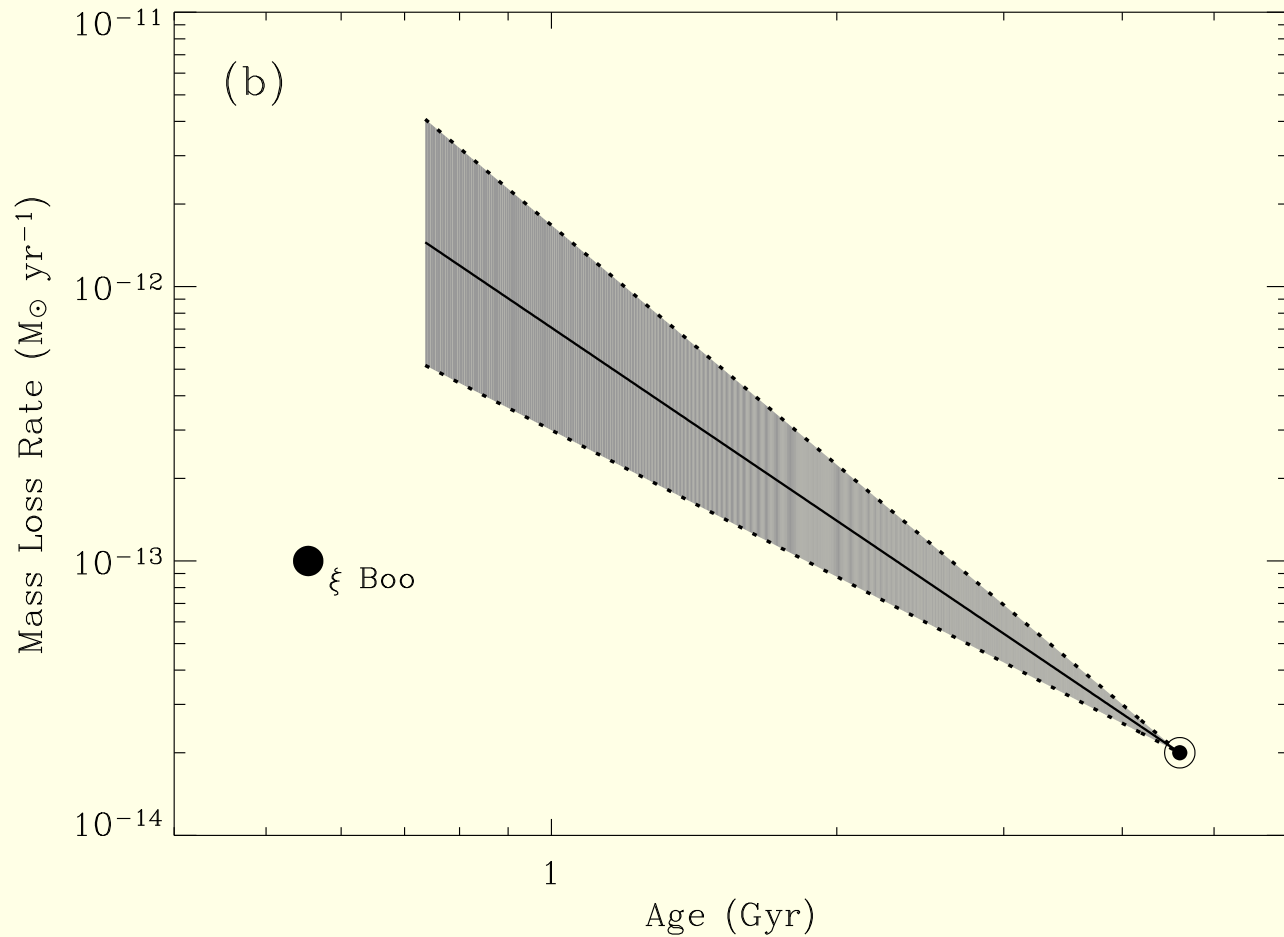
(Wood a kol. 2005)

Souvislost \dot{M} a rentgenového toku



- pro malé hodnoty F_X je $\dot{M} \sim F_X^{1.3}$
- pro velké hodnoty F_X závislost přestává platit? (Wood a kol. 2005)

Pokles \dot{M} se stářím hvězdy



(Wood a kol. 2005)

Hvězdy typu T Tauri

- fáze vývoje při které ještě dochází k akreci mezihvězdné látky, hvězda již pozorovatelná
- málo hmotné ($M \leq 3 M_{\odot}$) hvězdy před vstupem na hlavní posloupnost
- pozorujeme i hvězdný vítr a koronální emisi

Hvězdy typu T Tauri

geometrie:

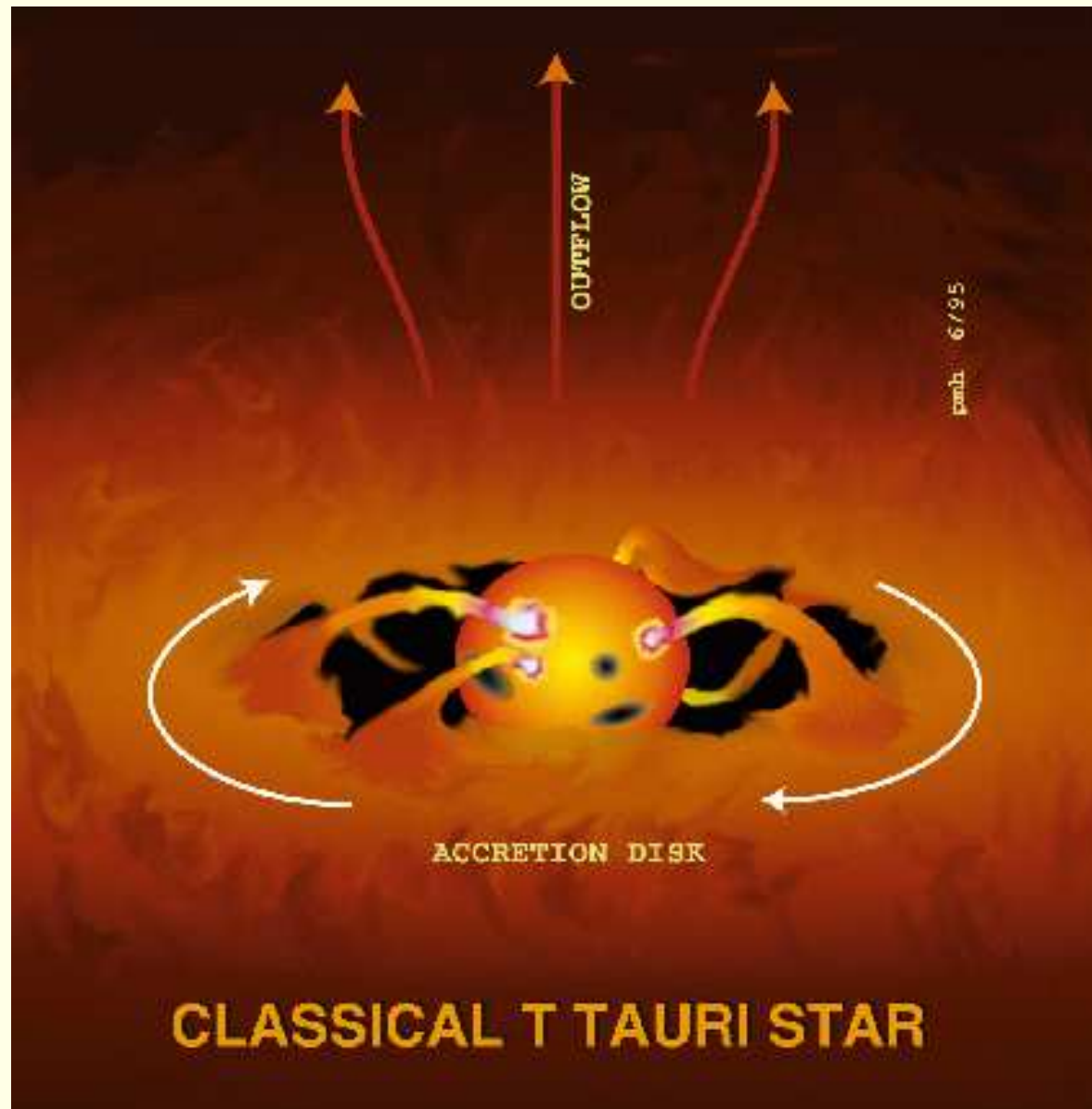
- akrece
 - především v rovině (rotačního) rovníku
 - podél siločar magnetického pole
 - může být přítomen akreční disk

Hvězdy typu T Tauri

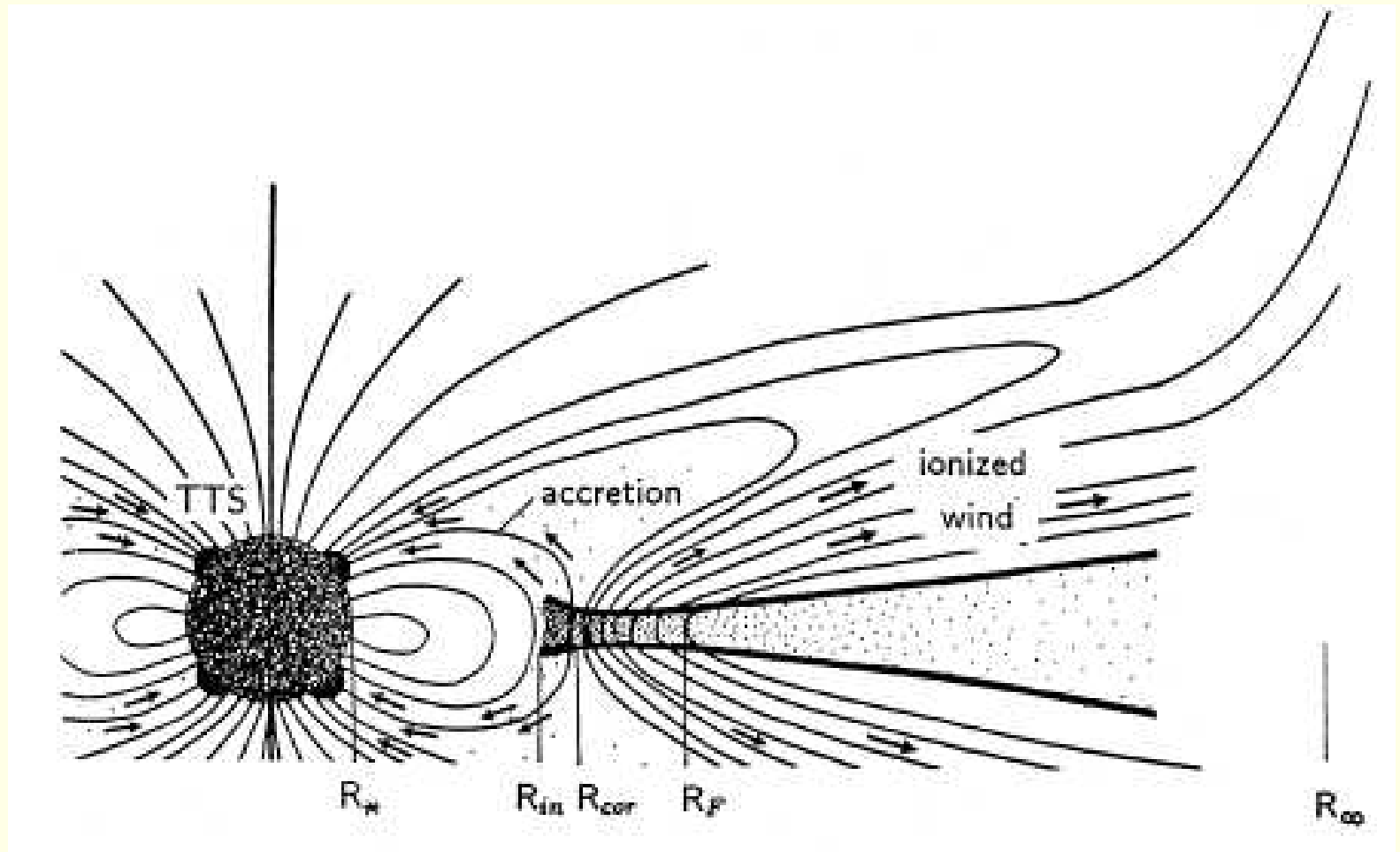
geometrie:

- akrece
 - především v rovině (rotačního) rovníku
 - podél siločar magnetického pole
 - může být přítomen akreční disk
- odtok látky
 - především v polárních oblastech
 - přítomnost koróny (uzavřené u otevřené smyčky magnetického pole)
 - koronální vítr podél otevřených magnetických siločar
 - může existovat také odtok látky z disku

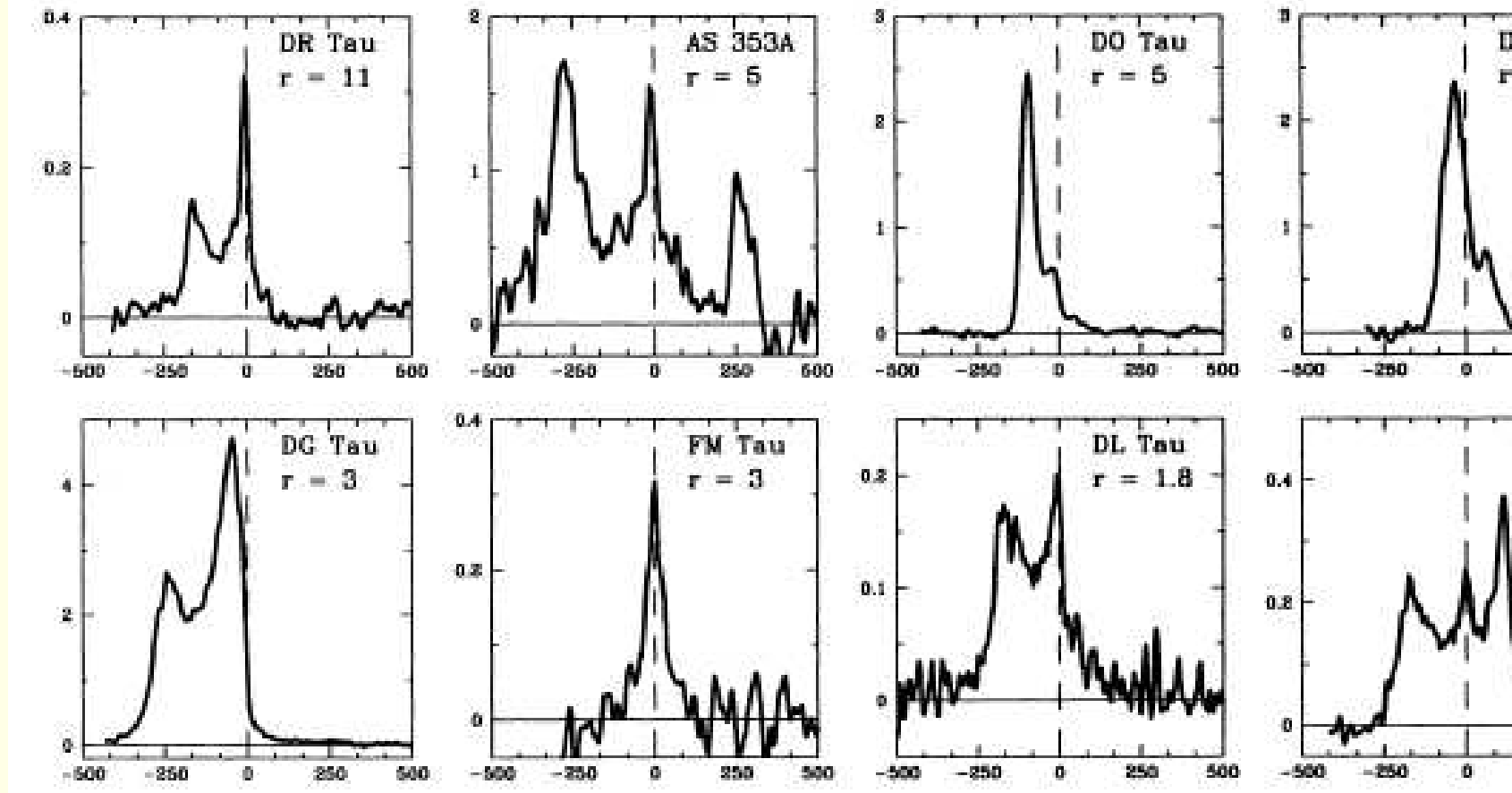
Hvězdy typu T Tauri



Hvězdy typu T Tauri

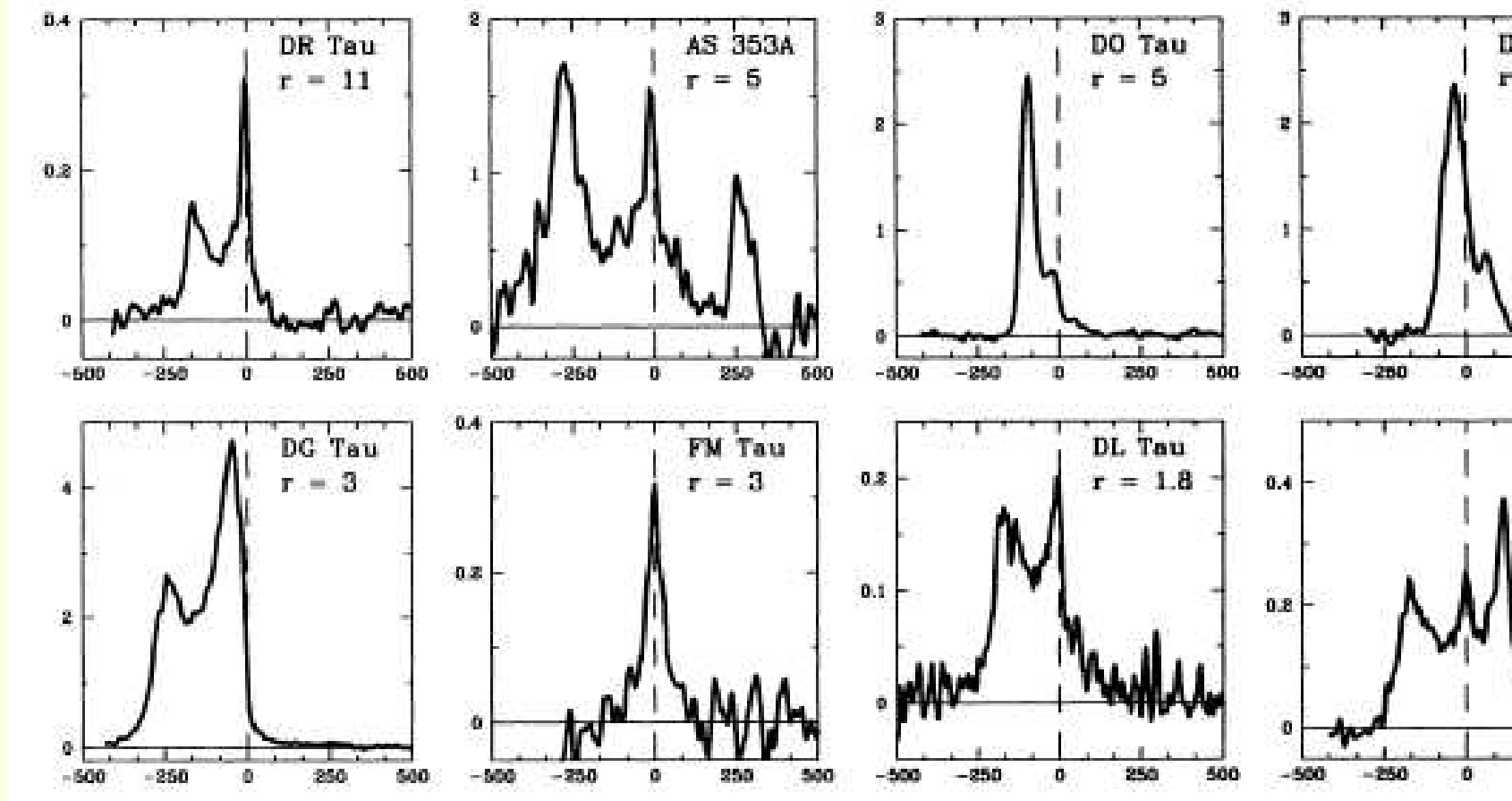


Hvězdy typu T Tauri



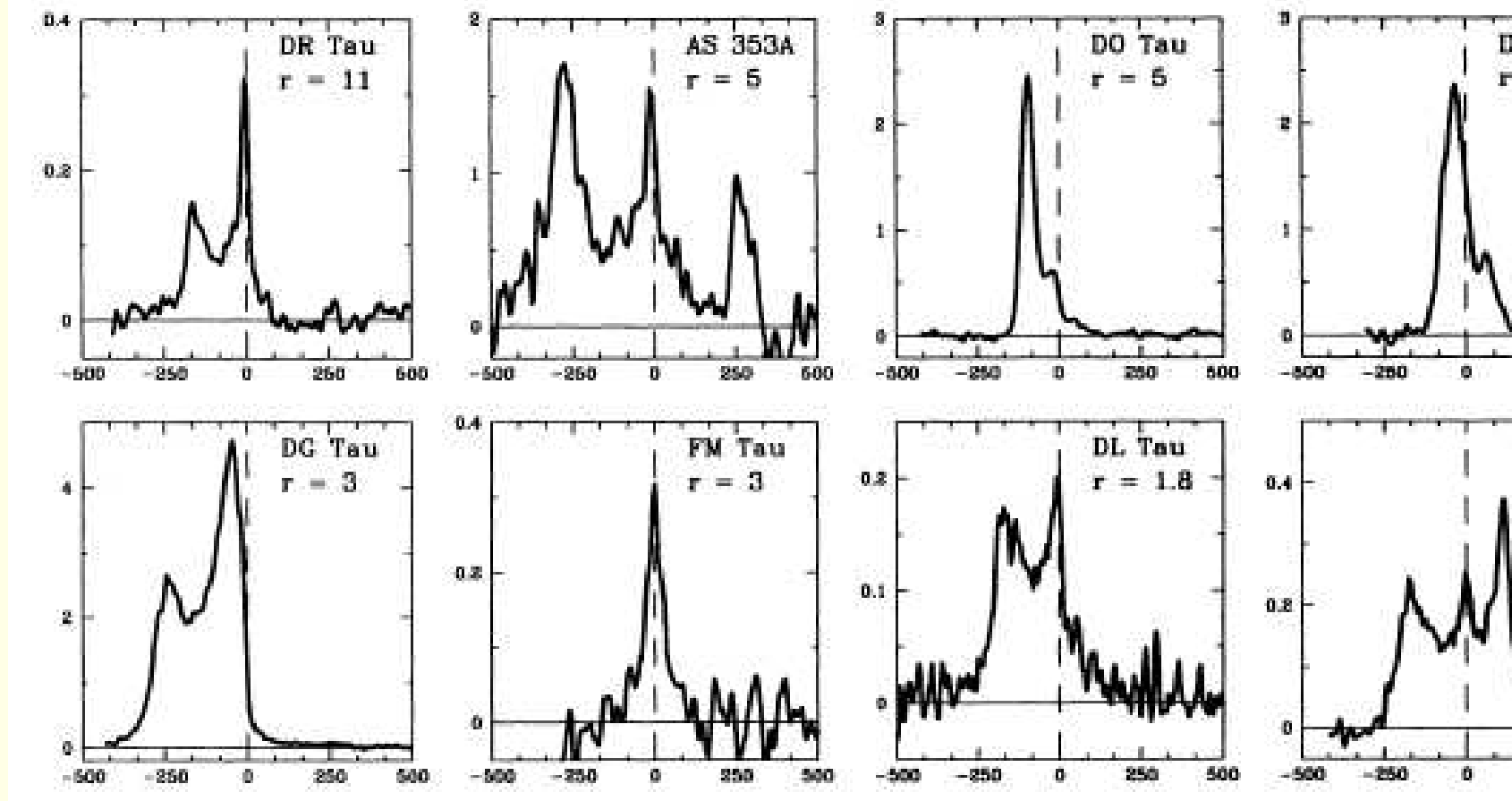
- čára kyslíku [O I] 6300 Å (Hartigan a kol. 1995)

Hvězdy typu T Tauri



- čára kyslíku [O I] 6300 Å (Hartigan a kol. 1995)
- čára rozšířena především do modré oblasti spektra (typická rychlost 100 km s^{-1}) \Rightarrow odtok

Hvězdy typu T Tauri



- čára kyslíku [O I] 6300 Å (Hartigan a kol. 1995)
- čára rozšířena především do modré oblasti spektra (typická rychlost 100 km s^{-1}) \Rightarrow odtok
- možné odvodit $\dot{M} \sim 10^{-8} - 10^{-10} M_{\odot} \text{ rok}^{-1}$

Závěr

- chladné hvězdy slunečního typu mají hvězdný vítr
- příčinou větru je rozpínání horké koróny
- ohřev koróny v důsledku disipace elektromagnetické energie (MHD vlny, elektrické proudy), přesná příčina neznámá
- vítr podstatně neovlivňuje hvězdný vývoj
- brzdění rotace hvězd